

## บทที่ 1

### บทนำ

#### 1.1 ความเป็นมาและความสำคัญของปัญหา

ไฟฟ้าเป็นปัจจัยที่สำคัญที่สุดปัจจัยหนึ่งสำหรับการดำรงชีวิตประจำวันของคนในชาติ ทั้งการสื่อสาร การคมนาคม เศรษฐกิจ การเกษตร และ การศึกษา ไฟฟ้าเป็นปัจจัยที่ช่วยเหลือในการทำงานด้านต่าง ๆ เพื่อความสะดวกสบายที่เพิ่มขึ้น ปัจจุบันมีการนำเทคโนโลยีสารสนเทศและการสื่อสารจำนวนมากเข้ามาใช้เป็นเครื่องมือในการเรียนการสอน รวมถึงช่วยอำนวยความสะดวกสบายในการทำกิจกรรมทุกด้าน ซึ่งเทคโนโลยีทั้งหมดนี้จะทำงานไม่ได้ถ้าหากขาดพลังงานไฟฟ้า ไม่ว่าจะเป็นอาคารเรียน อาคารสำนักงาน ร้านค้า บ้านพักและหอพักของนักศึกษา จำเป็นต้องใช้ไฟฟ้าทั้งสิ้น

มหาวิทยาลัยขอนแก่นเป็นสถาบันอุดมศึกษาสถานแห่งแรกของภาคตะวันออกเฉียงเหนือ ถือเป็นศูนย์กลางทางความคิด สติปัญญาของสังคม และเป็นศูนย์กลางทางการศึกษาระดับอุดมศึกษาสู่ภูมิภาค ตั้งอยู่บนพื้นที่ประมาณ 5,500 ไร่ มีคณะวิชาที่ผลิตบัณฑิตจำนวน 25 คณะวิชา นอกจากนี้ยังมีสิ่งอำนวยความสะดวกต่าง ๆ ได้แก่ โรงพยาบาล ศรีนครินทร์ และหน่วยงานเทียบเท่าคณะ ประกอบด้วย ศูนย์สถาบัน สำนักให้บริการวิชาการและบริการชุมชน มีที่ทำการไปรษณีย์ ศูนย์บริการ สหกรณ์ ร้านค้า หอพัก บ้านพัก แฟลต เรืองรับรอง ธนาคาร โรงเรียน และสาธารณูปโภคอื่น ๆ เพื่อให้บริการแก่บุคลากร นักศึกษา และประชาชนทั่วไปอย่างครบครัน และปัจจุบันมีจำนวนคนและอาคารสถานที่เพิ่มขึ้นทั้งที่อยู่ในระหว่างการก่อสร้างและสร้างเสร็จแล้ว จึงทำให้ความต้องการใช้พลังงานไฟฟ้าเพิ่มมากขึ้นตามไปด้วย อีกทั้งรายจ่ายด้านการใช้พลังงานไฟฟ้าของมหาวิทยาลัยสูงขึ้นเกือบทุกปี และยังพบว่ามีจุดชำรุดในสายส่งไฟฟ้าที่จ่ายกระแสไฟฟ้าให้ทางมหาวิทยาลัย จึงจำเป็นต้องจ่ายกระแสไฟฟ้าเป็นการชั่วคราวอยู่บ่อยครั้ง ส่งผลต่อความไม่สะดวกต่าง ๆ ในการใช้ชีวิตและการทำกิจกรรมของทุกคนในมหาวิทยาลัย (มหาวิทยาลัยขอนแก่น, 2562: ออนไลน์)

จากข้อมูลดังกล่าวข้างต้นจะเห็นว่าจะต้องมีการวางแผนการจัดการพลังงานไฟฟ้าให้เพียงพอต่อจำนวนนักศึกษา บุคลากร และอาคารสถานที่ต่าง ๆ ในอนาคต ซึ่งวิธีการที่จะช่วยในการจัดการกับทรัพยากรไฟฟ้าคือการทราบค่าการพยากรณ์ปริมาณการใช้ไฟฟ้าในอนาคตที่น่าเชื่อถือ ผู้วิจัยจึงมุ่งที่จะศึกษาเพื่อหาเทคนิคการพยากรณ์ที่เหมาะสมกับลักษณะข้อมูลปริมาณการใช้ไฟฟ้า โดยจะใช้การวิเคราะห์อนุกรมเวลา จากการที่ได้ไปศึกษางานวิจัยเกี่ยวกับการพยากรณ์ปริมาณการใช้ไฟฟ้า งานวิจัยส่วนมากจะใช้การเปรียบเทียบวิธีการทำให้เรียบและวิธีของบ็อกซ์และเจนกินส์ ซึ่งเทคนิคการพยากรณ์ที่นำมาใช้ในการวิจัยครั้งนี้ประกอบด้วย วิธีการทำให้เรียบ (Smoothing Method) และ วิธีของบ็อกซ์และเจนกินส์ (Box-Jenkins's Method)

## 1.2 วัตถุประสงค์ของการวิจัย

เพื่อหาตัวแบบการพยากรณ์ที่เหมาะสมในการพยากรณ์ปริมาณการใช้ไฟฟ้ารายเดือน ของมหาวิทยาลัยขอนแก่น และแต่ละคณะในมหาวิทยาลัยขอนแก่น

## 1.3 ขอบเขตของการวิจัย

1.3.1 ข้อมูลที่ใช้ในการวิจัยครั้งนี้เป็นข้อมูลทุติยภูมิรายเดือน ของปริมาณการใช้ไฟฟ้าในมหาวิทยาลัยขอนแก่น และแต่ละคณะในมหาวิทยาลัยขอนแก่น เก็บรวบรวมจากหน่วยไฟฟ้า กองอาคารและสถานที่ มหาวิทยาลัยขอนแก่น ตั้งแต่เดือนมกราคม พ.ศ. 2551 ถึงเดือนพฤษภาคม พ.ศ. 2561

1.3.2 ใช้วิธีการทำให้เรียบ (Smoothing Method) และวิธีของบ็อกซ์และเจนกินส์ (Box-Jenkins's Method) ในการพยากรณ์อนุกรมเวลาสำหรับการพยากรณ์ปริมาณการใช้ไฟฟ้าในมหาวิทยาลัยขอนแก่น

## 1.4 ความหมายหรือนิยามศัพท์เฉพาะ

1.4.1 การพยากรณ์ (Forecasting) หมายถึง การประมาณ หรือ การคาดคะเนว่าอะไรจะเกิดขึ้นในอนาคต

1.4.2 อนุกรมเวลา (Time Series) หมายถึง ข้อมูลหรือค่าสังเกตที่เปลี่ยนแปลงไปตามลำดับเวลาที่เกิดขึ้นอย่างต่อเนื่อง ข้อมูลเหล่านี้ถูกเก็บรวบรวม ณ ช่วงเวลาต่าง ๆ เช่น รายวัน รายสัปดาห์ รายเดือน รายไตรมาส หรือรายปี

1.4.3 พลังงานไฟฟ้า คือ พลังงานที่เปลี่ยนมาจากพลังงานรูปอื่น พลังไฟฟ้านี้เกิดจากการที่อิเล็กตรอนเคลื่อนที่ผ่านตัวนำไฟฟ้า อิเล็กตรอนจะเคลื่อนที่จากขั้วลบไปขั้วบวก แต่ไฟฟ้าเป็นกระแสสมมุติเคลื่อนสวนทางกับอิเล็กตรอนจากขั้วบวกไปขั้วลบ

## 1.5 ประโยชน์ที่คาดว่าจะได้รับ

1.5.1 ได้ตัวแบบการพยากรณ์ที่เหมาะสมในการพยากรณ์ปริมาณการใช้ไฟฟ้ารายเดือน ในมหาวิทยาลัยขอนแก่น และแต่ละคณะในมหาวิทยาลัยขอนแก่น

1.5.2 ทราบแนวโน้มของปริมาณการใช้ไฟฟ้ารายเดือน ในมหาวิทยาลัยขอนแก่น และแต่ละคณะในมหาวิทยาลัยขอนแก่น

1.5.3 หน่วยไฟฟ้า กองอาคารและสถานที่ มหาวิทยาลัยขอนแก่น สามารถใช้เป็นแนวทางในการวางแผนการจัดหาพลังงานไฟฟ้าอย่างคุ้มค่ามากที่สุด

## บทที่ 2

### ทฤษฎีและงานวิจัยที่เกี่ยวข้อง

การศึกษาครั้งนี้ได้ศึกษาทฤษฎีและงานวิจัยที่เกี่ยวข้องกับการพยากรณ์ปริมาณการใช้ไฟฟ้าในมหาวิทยาลัยขอนแก่น และแต่ละคณะในมหาวิทยาลัยขอนแก่น โดยแบ่งออกเป็น 2 ส่วนคือ

1. ทฤษฎีที่ใช้ในการวิจัย แสดงวิธีการและทฤษฎีทั้งหมดที่ใช้ในงานวิจัยนี้
2. ผลงานวิจัยที่เกี่ยวข้องเป็นการรวบรวมผลการศึกษาเกี่ยวกับวิธีการหาตัวแบบของปริมาณการใช้ไฟฟ้า

#### 2.1 ทฤษฎีสถิติที่เกี่ยวข้องกับงานวิจัย

**2.1.1 การพยากรณ์อนุกรมเวลา** เป็นการพยากรณ์ที่ใช้ข้อมูลในอดีตและปัจจุบันของสิ่งที่จะพยากรณ์เท่านั้น มาวิเคราะห์ ไม่ได้ใช้ข้อมูลอย่างอื่นเรียกข้อมูลชนิดนี้ว่า “อนุกรมเวลา (Time Series)” หมายถึง ค่าสังเกตที่สังเกตที่ทุกหน่วยเวลาติดต่อกันตามลำดับ แต่ละหน่วยเวลาห่าง (Lag) เท่ากัน เขียนแทนได้ดังนี้ (ยูภาพร ตงประสิทธิ์, 2559)

ให้  $Z_t$  แทน ค่าสังเกตที่เวลา  $t$  ใด ๆ

$Z_1, Z_2, Z_3, \dots, Z_n$  แทน ค่าสังเกตที่เวลา  $t$  เมื่อ  $t = 1, 2, \dots, n$

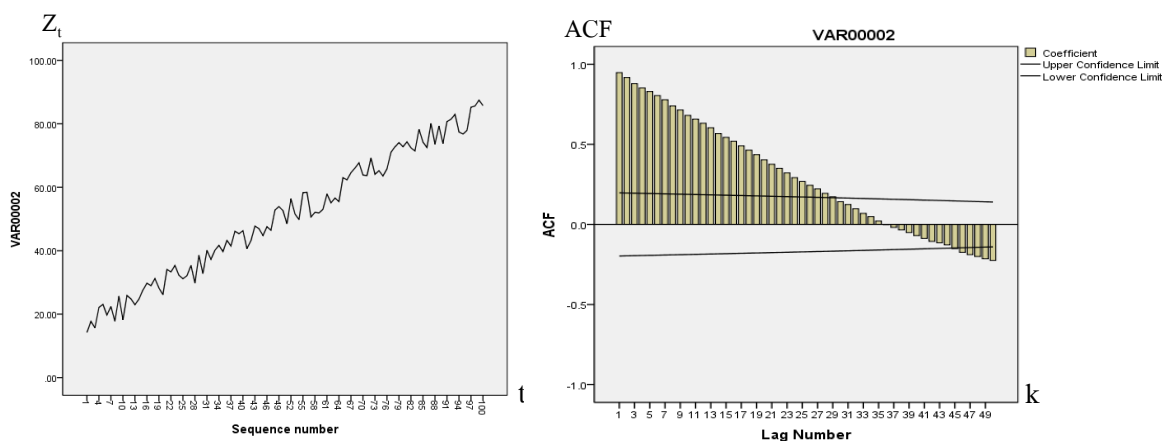
$Z_{t-1}, Z_t$  และ  $Z_{t+1}$  แทน ค่าสังเกตที่หน่วยเวลา  $t-1, t$  และ  $t+1$  ตามลำดับ

**2.1.1.1 ลักษณะของอนุกรมเวลา** อธิบายได้ด้วยส่วนประกอบ 4 ส่วน คือ แนวโน้ม การแปรผันตามฤดูกาล วัฏจักร และความรบกวนสุ่มหรือการแปรผันผิดปกติ ในแต่ละอนุกรมเวลาอาจมีส่วนประกอบทั้ง 4 ส่วน หรือมีเฉพาะบางส่วนก็ได้ การศึกษาลักษณะอนุกรมเวลากระทำได้โดยการพิจารณาจาก กราฟของอนุกรมเวลา และกราฟของฟังก์ชันสหสัมพันธ์ในตัวเอง (Autocorrelation Function: ACF) ดังนี้

##### 1) แนวโน้ม (Trend: T)

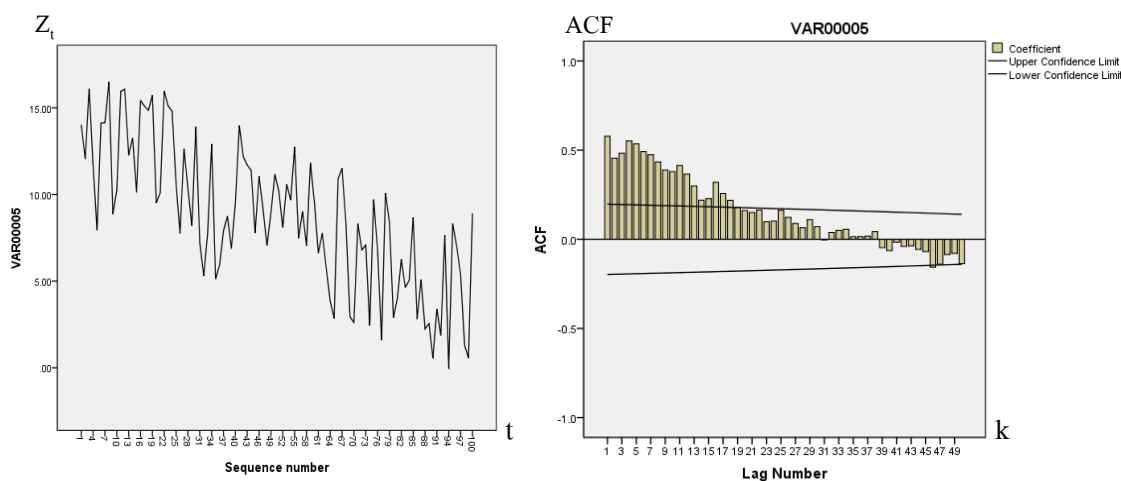
แนวโน้ม หมายถึง การเคลื่อนไหวหรือการเปลี่ยนแปลงของค่าของอนุกรมเวลาในระยะยาวในลักษณะเพิ่มขึ้นหรือลดลง แนวโน้มอาจเป็นเชิงเส้นหรือไม่ใช่เชิงเส้นก็ได้เช่น ราคาปีคของหุ้นรายวัน ปริมาณขายสินค้ารายเดือน จำนวนนักศึกษาทั้งหมดรายปี เป็นต้น

ลักษณะของอนุกรมเวลาที่มีแนวโน้ม สามารถพิจารณาจากกราฟ ดังนี้



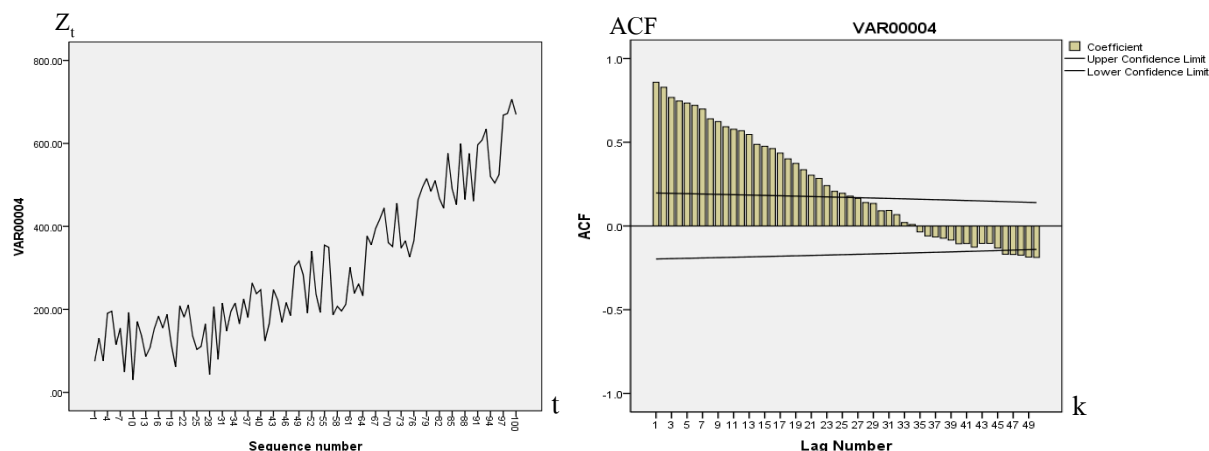
ภาพที่ 2.1 กราฟเส้น และกราฟ ACF ของอนุกรมเวลาที่มีแนวโน้มเชิงเส้นเพิ่มขึ้น

กราฟเส้นของอนุกรมเวลาที่พิจารณาในช่วงเวลา  $t = 1, 2, \dots, n$  มีการเคลื่อนไหวหรือการเปลี่ยนแปลงของค่าของอนุกรมเวลาในระยะยาว ในลักษณะเพิ่มขึ้นแบบเชิงเส้น และกราฟ ACF มีค่าแตกต่างไปจากศูนย์อย่างมีนัยสำคัญ และลดลงเข้าสู่ศูนย์อย่างช้า ๆ ดังภาพที่ 2.1



ภาพที่ 2.2 กราฟเส้น และกราฟ ACF ของอนุกรมเวลามีแนวโน้มเชิงเส้นลดลง

กราฟเส้นของอนุกรมเวลาที่พิจารณาในช่วงเวลา  $t = 1, 2, \dots, n$  มีการเคลื่อนไหวหรือการเปลี่ยนแปลงของค่าของอนุกรมเวลาในระยะยาว ในลักษณะลดลงแบบเชิงเส้น และกราฟ ACF มีค่าแตกต่างไปจากศูนย์อย่างมีนัยสำคัญ และลดลงเข้าสู่ศูนย์อย่างช้า ๆ ดังภาพที่ 2.2



ภาพที่ 2.3 กราฟเส้น และกราฟ ACF ของอนุกรมเวลาที่มีแนวโน้มไม่เชิงเส้น

กราฟเส้นของอนุกรมเวลาที่พิจารณาในช่วงเวลา  $t = 1, 2, \dots, n$  มีการเคลื่อนไหวหรือการเปลี่ยนแปลงของค่าของอนุกรมเวลาในระยะยาว ในลักษณะเพิ่มขึ้นแบบเชิงเอ็กซ์โปเนนเชียล และกราฟ ACF มีค่าแตกต่างไปจากศูนย์อย่างมีนัยสำคัญ และลดลงเข้าสู่ศูนย์อย่างช้า ๆ ดังภาพที่ 2.3

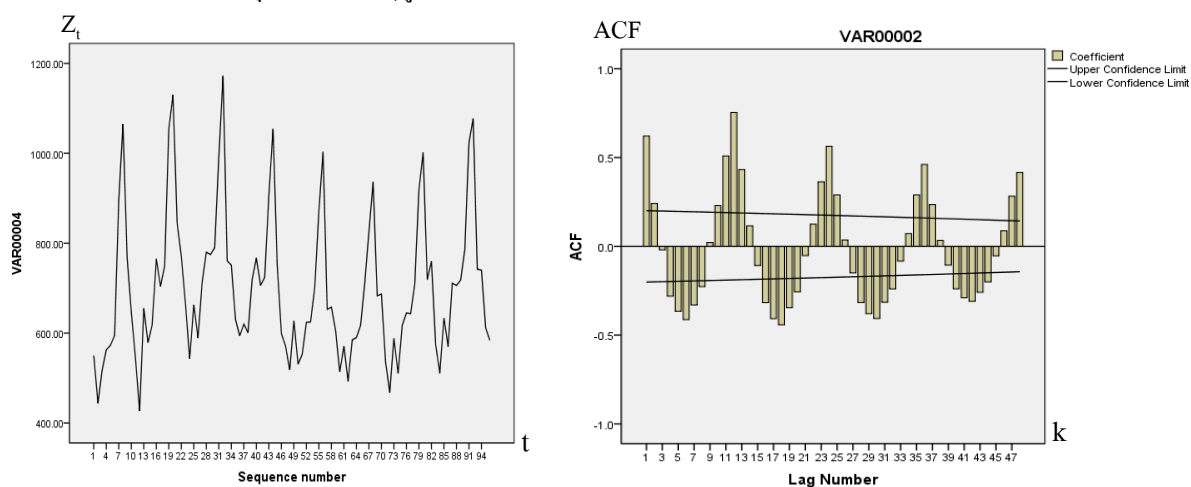
## 2) การแปรผันตามฤดูกาล (Seasonal Variation: S)

การแปรผันตามฤดูกาล หมายถึง ลักษณะการเคลื่อนไหวเหมือนกันเป็นช่วง ๆ โดยที่แต่ละช่วงนานไม่เกิน 1 ปี เรียกแต่ละช่วงเวลาที่อนุกรมเวลามีลักษณะเหมือนกันนี้ว่า ความยาวหรือคาบของฤดูกาล เช่น ข้อมูลรายเดือน คาบของฤดูกาลอาจเท่ากับ 6 หรือ 12 เดือน ข้อมูลรายไตรมาส คาบของฤดูกาลเท่ากับ 4 ไตรมาส ข้อมูลที่แปรผันตามฤดูกาลเช่นยอดขายเสื้อกันหนาวจะสูงในฤดูหนาวและจะต่ำในฤดูร้อนจำนวนนักท่องเที่ยวพักโรงแรมที่ชายทะเลจะสูงในฤดูร้อนและจะต่ำในฤดูหนาว เป็นต้น

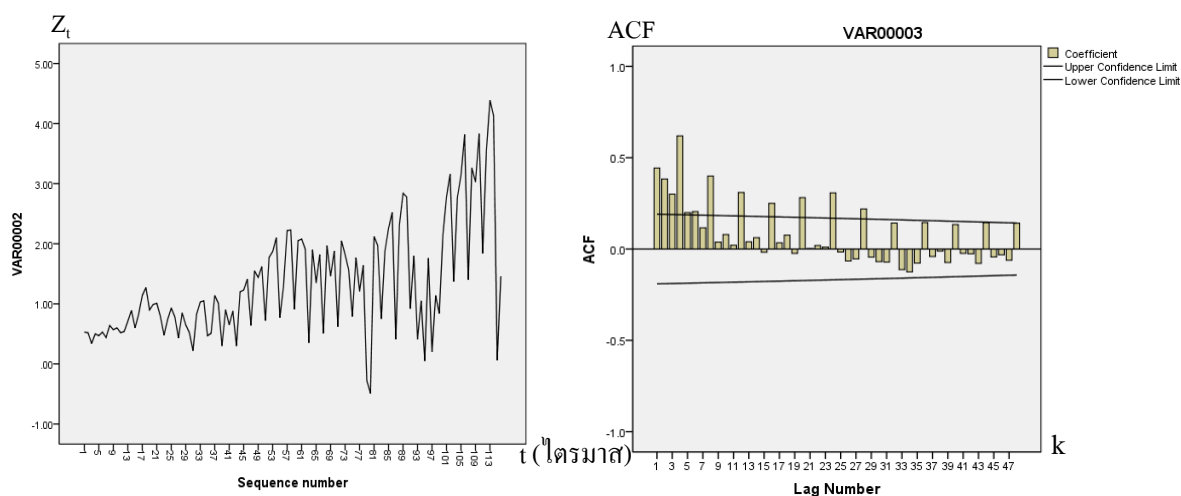
กราฟเส้นของอนุกรมเวลาที่พิจารณาในช่วงเวลา  $t = 1, 2, \dots, n$  มีการเปลี่ยนแปลงค่าในลักษณะคล้ายคลึงกันเป็นช่วง ๆ แต่ละช่วงมีขนาดไม่แตกต่างกันมาก โดยแต่ละช่วงนานไม่เกิน 1 ปี ซึ่งได้รับอิทธิพลจากฤดูกาลแสดงว่าข้อมูลมีฤดูกาลดังภาพที่ 2.4 และ 2.5

กราฟแท่งของฟังก์ชันสหสัมพันธ์ในตัวเอง (Autocorrelation Function: ACF) มีค่าแตกต่างไปจากศูนย์อย่างมีนัยสำคัญและลดลงเข้าสู่ศูนย์อย่างรวดเร็วไปแล้วระยะหนึ่ง และกลับมามีค่าแตกต่างไปจากศูนย์อย่างมีนัยสำคัญอีกเป็นช่วง ๆ โดยฤดูกาลมีคาบยาวเท่ากับช่วงห่างของค่า ACF ที่มีค่าแตกต่างไปจากศูนย์อย่างมีนัยสำคัญดังภาพที่ 2.4 และ 2.5

ลักษณะของอนุกรมเวลาที่มีฤดูกาล สามารถพิจารณาจากกราฟ ดังนี้



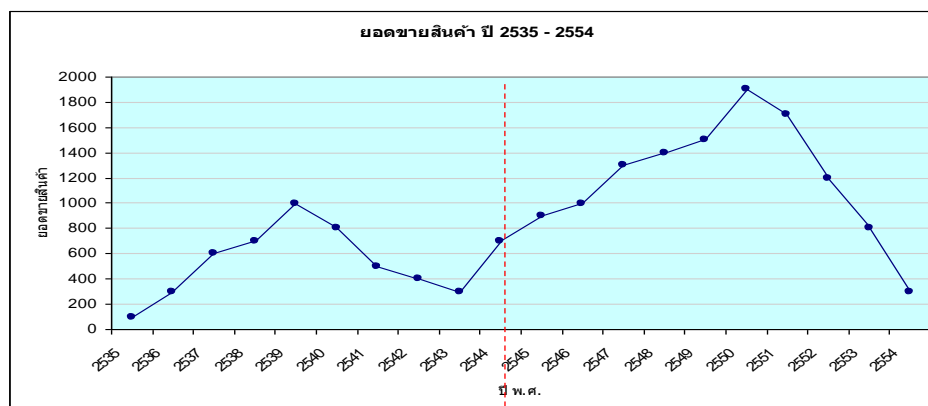
ภาพที่ 2.4 กราฟเส้น และกราฟ ACF ของอนุกรมเวลาที่มีความแปรผันตามฤดูกาล



ภาพที่ 2.5 กราฟเส้น และกราฟ ACF ของอนุกรมเวลาที่มีความแปรผันตามฤดูกาล

### 3) วัฏจักร (Cycle: C)

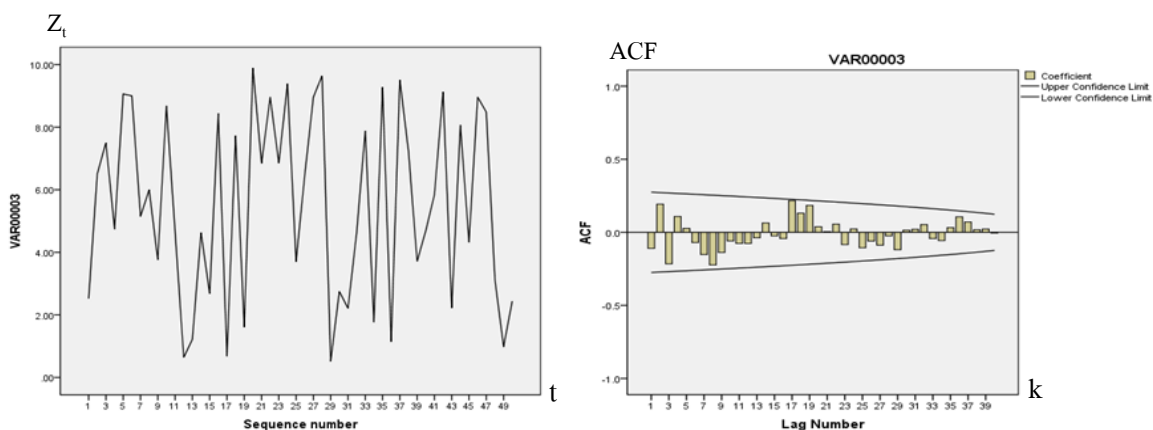
วัฏจักร หมายถึง การเคลื่อนไหวขึ้น ๆ ลง ๆ รอบระดับของแนวโน้มคล้ายกันเป็นช่วง ๆ โดยแต่ละช่วงยาวนานกว่า 1 ปี เช่น 2 - 10 ปี ทั้งความยาวของช่วงของวัฏจักร และขนาดของการเคลื่อนไหวสูงต่ำอาจไม่คงที่ เนื่องจากอิทธิพลที่ทำให้เกิดวัฏจักรนั้น เช่น ภาพที่ 2.6 วัฏจักรทางธุรกิจ รอบแรกยาว 9 ปี โดยมีช่วงเศรษฐกิจรุ่งเรือง (ขาขึ้น) 5 ปี และช่วงเศรษฐกิจตกต่ำ (ขาลง) 4 ปี ใน รอบที่สองยาว 11 ปี โดยมีช่วงเศรษฐกิจรุ่งเรือง 7 ปี และช่วงเศรษฐกิจตกต่ำ 4 ปี เป็นต้น ข้อมูลที่มีลักษณะนี้การพยากรณ์ทำได้ยากที่สุด



ภาพที่ 2.6 กราฟเส้นของอนุกรมเวลายอดขายสินค้าชนิดหนึ่งรายปีที่มีวัฏจักรเป็นส่วนประกอบ

#### 4) ความรบกวนสุ่มหรือการแปรผันผิดปกติ (Irregular Variation: I)

หมายถึง การเคลื่อนไหวที่ไม่มีรูปแบบ หรือการเคลื่อนไหวผิดปกติอันเนื่องมาจากเหตุการณ์ที่ไม่คาดคิด เช่น สงคราม ปฏิวัติ แผ่นดินไหว น้ำท่วม ไฟไหม้ เป็นต้น พิจารณาจาก 2 กราฟ ดังนี้



ภาพที่ 2.7 กราฟเส้น และกราฟ ACF ของอนุกรมเวลาที่มีความรบกวนสุ่มหรือการแปรผันผิดปกติ

กราฟของอนุกรมเวลาที่พิจารณาในช่วงเวลา  $t = 1, 2, \dots, n$  มีการเคลื่อนไหวที่ไม่มีรูปแบบและไม่ผันแปรตามเวลา และกราฟของ ACF มีค่าน้อยไม่แตกต่างไปจากศูนย์อย่างมีนัยสำคัญ

### 2.1.2 การพยากรณ์โดยวิธีการทำให้เรียบ (Smoothing Method)

คือ การพยากรณ์โดยใช้ค่าสังเกตจากอดีตส่วนหนึ่งหรือทั้งหมดในการสร้างสมการ พยากรณ์ ซึ่งน้ำหนักที่ให้กับค่าสังเกตแต่ละค่าจะแตกต่างกัน เหตุผลสำคัญที่มีการใช้วิธีการทำให้เรียบ เนื่องจากอนุกรมเวลาอาจเกิดความผันแปรจากเหตุการณ์ที่ผิดปกติทำให้ไม่เห็นส่วนประกอบของอนุกรมเวลาอื่น ๆ ซึ่งวิธีการทำให้เรียบจะช่วยลดอิทธิพลของความผันแปรดังกล่าวได้ ดังนั้นจึงใช้วิธีสร้างกราฟเพื่อช่วยให้เห็นส่วนประกอบของอนุกรมเวลาแต่ละส่วนจึงปรากฏชัดเจนขึ้น ทำให้สามารถพยากรณ์ค่าของอนุกรมเวลาในอนาคตได้ สำหรับวิธีการทำให้เรียบนั้นมีวิธีการหลายวิธีและการใช้งานจะขึ้นอยู่กับลักษณะของอนุกรมเวลาแยกออกเป็น 3 กลุ่ม ได้แก่ 1. อนุกรมเวลาที่ไม่มีส่วนประกอบของแนวโน้มและฤดูกาล 2. อนุกรมเวลาที่มีเฉพาะส่วนประกอบของแนวโน้ม 3. อนุกรมเวลาที่มีทั้งส่วนประกอบของแนวโน้มและฤดูกาล (วราภรณ์ เรือนสุทธิ์, 2559) ซึ่งจะมีรายละเอียด ดังนี้

#### 2.1.2.1 อนุกรมเวลาที่ไม่มีส่วนประกอบของแนวโน้มและฤดูกาล

การทำให้เรียบแบบเอกซ์โพเนนเชียลชั้นเดียว (Single Exponential) เป็นวิธีการพยากรณ์ที่เหมาะสมกับข้อมูลที่มีการเคลื่อนไหวอยู่ในระดับคงที่ และเป็นวิธีที่เหมาะสมสำหรับการพยากรณ์ในระยะสั้น ๆ เท่านั้น

สำหรับสมการที่ใช้ในการพยากรณ์ มีดังนี้

$$\hat{Z}_t = \alpha Z_t + (1 - \alpha) \hat{Z}_{t-1}$$

โดยที่  $\hat{Z}_t$  แทน ค่าพยากรณ์ ณ เวลา  $t$   
 $Z_t$  แทน ค่าสังเกตหรือข้อมูล ณ เวลา  $t$   
 $\alpha$  แทน ค่าคงที่การทำให้เรียบระหว่างข้อมูลกับค่าพยากรณ์โดยที่  $0 \leq \alpha \leq 1$

เมื่อกำหนดให้ค่าเริ่มต้น คือ  $\bar{Z}_0(1) = \bar{Z} = \frac{1}{t} \sum_{i=1}^t Z_i$

#### 2.1.2.2 อนุกรมเวลาที่มีเฉพาะส่วนประกอบของแนวโน้ม

วิธีของโฮลต์ (Holt's Method) มีความเหมาะสมกับอนุกรมเวลาที่มีแนวโน้มเป็นเส้นตรงและไม่มีส่วนประกอบของฤดูกาล เหมาะกับการพยากรณ์ในระยะสั้นถึงพยากรณ์ในระยะปานกลาง มีค่าคงที่การทำให้เรียบ 2 ค่า คือ ค่าคงที่การทำให้เรียบของค่าระดับ (Level:  $\alpha$ ) และค่าคงที่การปรับเรียบของค่าความชัน (Trend:  $\beta$ )

สำหรับตัวแบบของข้อมูลอนุกรมเวลาที่ใช้กับการพยากรณ์นี้สามารถเขียนตัวแบบได้ดังนี้

$$Z_t = b_0 + b_1 t + a_t$$

โดยที่  $Z_t$  แทน ข้อมูลหรือค่าสังเกต ณ เวลา  $t$

$b_0, b_1$  แทน ค่าพารามิเตอร์ของตัวแบบ



$a_t$  แทน ค่าความคลาดเคลื่อน ณ เวลา  $t$

สำหรับสมการในการพยากรณ์ของโซลท์ที่  $\tau$  หน่วยเวลาล่วงหน้า คือ

$$\hat{Z}_t(\tau) = \hat{Z}_{t+\tau} = \hat{b}_{0t} + \hat{b}_{1t}\tau$$

โดยที่  $\hat{Z}_t(\tau)$  แทน ค่าพยากรณ์ ณ เวลา  $t + \tau$

$\hat{b}_{0t}$  และ  $\hat{b}_{1t}$  แทน ค่าประมาณค่าพารามิเตอร์  $b_0$  และ  $b_1$  ณ เวลา  $t$

$$\text{เมื่อ } \hat{b}_{0t} = \alpha Z_t + (1 - \alpha)(\hat{b}_{0(t-1)} + \hat{b}_{1(t-1)})$$

$$\hat{b}_{1t} = \beta(\hat{b}_{0t} - \hat{b}_{0(t-1)}) + (1 - \beta)\hat{b}_{1(t-1)}$$

$\alpha$  แทน ค่าคงที่การทำให้เรียบระหว่างข้อมูลกับค่าพยากรณ์โดยที่  $0 \leq \alpha \leq 1$

$\beta$  แทน ค่าคงที่การทำให้เรียบระหว่างแนวโน้มจริงกับค่าประมาณของแนวโน้มโดยที่  $0 \leq \beta \leq 1$

สำหรับการคำนวณค่าเริ่มต้น ของ  $\hat{b}_{0t}$ ,  $\hat{b}_{1t}$  สามารถคำนวณได้ดังนี้

$$1. \text{ ค่า } \hat{b}_{00} = Z_1 \text{ หรือ } \hat{b}_{00} = \bar{Z} = \sum_{t=1}^n Z_t / n$$

$$2. \text{ ค่า } \hat{b}_{10} = Z_2 - Z_1 \text{ หรือ } \hat{b}_{10} = \frac{Z_4 - Z_1}{3} \text{ หรือ } \hat{b}_{10} = \frac{Z_n - Z_1}{n - 1}$$

ส่วนค่า  $\alpha$ ,  $\beta$  ผู้วิจัยอาจเป็นผู้กำหนดเอง หรือใช้โปรแกรมสำเร็จรูปค้นหาค่าของ  $\alpha$ ,  $\beta$  ที่ทำให้ความคลาดเคลื่อนของการพยากรณ์มีค่าต่ำสุด

### 2.1.2.3 อนุกรมเวลาที่มีทั้งส่วนประกอบของแนวโน้มและฤดูกาล

**วิธีของวินเทอร์ (Winter's Method)** วิธีการพยากรณ์นี้เหมาะสำหรับอนุกรมเวลาที่มีแนวโน้มและอิทธิพลของฤดูกาล เหมาะกับการพยากรณ์ในระยะสั้นจนถึงการพยากรณ์ในระยะปานกลางเหมาะกับข้อมูลรายสัปดาห์ รายเดือน หรือรายไตรมาส สำหรับวิธีการพยากรณ์นี้ใช้ค่าปรับให้เรียบ 3 ค่า ได้แก่  $\alpha$  เป็นค่าคงที่การทำให้เรียบระหว่างข้อมูลกับค่าพยากรณ์  $\beta$  เป็นค่าคงที่การทำให้เรียบระหว่างแนวโน้มจริงกับค่าประมาณของแนวโน้ม  $\gamma$  เป็นค่าคงที่การทำให้เรียบระหว่างค่าฤดูกาลจริงกับค่าประมาณฤดูกาล ที่มีค่าอยู่ระหว่าง 0 ถึง 1 สำหรับตัวแบบของข้อมูลอนุกรมเวลาที่ใช้กับการพยากรณ์นี้มีทั้งตัวแบบเชิงคูณและตัวแบบเชิงบวก ซึ่งแต่ละตัวแบบมีรายละเอียดดังนี้ (ยูภาพร ตงประสิทธิ์, 2559)

## 1) ตัวแบบเชิงคูณ

การแปรผันตามฤดูกาลแต่ละช่วงมีลักษณะแตกต่างกันมาก เมื่อระดับอนุกรมเวลาเพิ่มขึ้นการแปรผันตามฤดูกาลเพิ่มขึ้นด้วย หรือในทางกลับกัน การแปรผันฤดูกาลลดลงเมื่อระดับของอนุกรมเวลาเพิ่มขึ้น อนุกรมเวลานี้ไม่มีแนวโน้มทั้งภายในฤดูกาลและระหว่างฤดูกาล โดยมีตัวแบบ ดังนี้

$$Z_t = (b_0 + b_1 t) C_t + a_t$$

โดยที่	$Z_t$	แทน ข้อมูลหรือค่าสังเกต ณ เวลา $t$
	$b_0$	แทน ระดับของข้อมูล
	$b_1$	แทน ความลาดชัน
	$C_t$	แทน การผันแปรตามฤดูกาลที่เวลา $t$
	$a_t$	แทน ความคลาดเคลื่อน ที่มีค่าเฉลี่ยเท่ากับศูนย์ ไม่มีสหสัมพันธ์ในตัวเองและความแปรปรวนคงที่ ณ เวลา $t$

สำหรับการพยากรณ์ที่  $\tau$  หน่วยเวลาล่วงหน้า คือ

$$\hat{Z}_t(\tau) = (\hat{b}_{0t} + \hat{b}_{1t}\tau) \hat{C}_{t-L+\tau}, \quad \tau = 1, 2, \dots, L$$

โดยที่	$\hat{b}_{0t}$	แทน ค่าประมาณของระดับข้อมูลที่เวลา $t$ โดยที่
		$\hat{b}_{0t} = \alpha \frac{Z_t}{\hat{C}_{t-L}} + (1-\alpha) [\hat{b}_{0(t-1)} + \hat{b}_{1(t-1)}]$
เมื่อ	$\alpha$	แทน ค่าคงที่ทำให้เรียบค่าที่หนึ่ง; $0 < \alpha < 1$
	$Z_t$	แทน ค่าข้อมูลจริงที่เวลา $t$
	$\hat{C}_{t-L}$	แทน ค่าประมาณของดัชนีฤดูกาลที่เวลา $t-L$
	$\hat{b}_{0(t-1)}$	แทน ค่าประมาณของระดับข้อมูลที่เวลา $t-1$
	$\hat{b}_{1(t-1)}$	แทน ค่าประมาณของความลาดชันที่เวลา $t-1$
โดยที่	$\hat{b}_{1t}$	แทน ค่าประมาณความลาดชันที่เวลา $t$ โดยที่
		$\hat{b}_{1t} = \beta [\hat{b}_{0t} - \hat{b}_{0(t-1)}] + (1-\beta) \hat{b}_{1(t-1)}$
เมื่อ	$\beta$	แทน ค่าคงที่ทำให้เรียบค่าที่สอง; $0 < \beta < 1$
	$\hat{b}_{0t}$	แทน ค่าประมาณของระดับข้อมูลที่เวลา $t$
	$\hat{b}_{0(t-1)}$	แทน ค่าประมาณของระดับข้อมูลที่เวลา $t-1$
	$\hat{b}_{1(t-1)}$	แทน ค่าประมาณของความลาดชันที่เวลา $t-1$

โดยที่  $\hat{C}_t$  แทน ค่าประมาณดัชนีฤดูกาลที่เวลา  $t$

$$\hat{C}_t = \gamma \left[ \frac{Z_t}{\hat{b}_{0t}} \right] + (1-\gamma) \hat{C}_{t-L}$$

เมื่อ  $\gamma$  แทน ค่าคงที่ทำให้เรียบค่าที่สาม ;  $0 < \gamma < 1$

$Z_t$  แทน ค่าข้อมูลจริงที่เวลา  $t$

$\hat{b}_{0t}$  แทน ค่าประมาณของระดับข้อมูลที่เวลา  $t$

$\hat{C}_{t-L}$  แทน ค่าประมาณของดัชนีฤดูกาลที่เวลา  $t-L$

สำหรับการคำนวณค่าเริ่มต้น ของ  $\hat{b}_{0t}$ ,  $\hat{b}_{1t}$ ,  $\hat{C}_t$  ที่เวลา  $t = 1, 2, 3, \dots, L$  สามารถคำนวณได้ดังนี้

ให้อนุกรมเวลามีข้อมูล  $mL$  ค่า, เมื่อ  $m$  คือ จำนวนฤดูกาล และ  $L$  คือ ความยาวของฤดูกาล หาค่าเฉลี่ยของข้อมูลในฤดูกาลที่  $j$  จากสูตร

$$\bar{Z}_i = \frac{1}{L} \sum_{j=1}^L Z_{ij} \quad ; i = 1, 2, 3, \dots, m$$

$$1. \text{ ค่าเริ่มต้นของ } \hat{b}_{1t} \text{ คือ } \hat{b}_{10} \text{ ซึ่ง } \hat{b}_{10} = \frac{\bar{Z}_m - \bar{Z}_1}{(m-1)L}$$

$$2. \text{ ค่าเริ่มต้นของ } \hat{b}_{0t} \text{ คือ } \hat{b}_{00} \text{ ซึ่ง } \hat{b}_{00} = \bar{Z}_1 - \left( \frac{L+1}{2} \right) \hat{b}_{10}$$

$$3. \text{ ค่าเริ่มต้นของ } \hat{C}_t \text{ คือ } \hat{C}_j \text{ ที่เวลา } t \text{ จากสูตร}$$

$$\text{- หาค่า } \tilde{C}_{ij} = \tilde{C}_t = \frac{Z_t}{\bar{Z}_i - \left[ \frac{L+1}{2} - j \right] \hat{b}_{10}} \quad ; t = 1, 2, 3, \dots, mL$$

$$\text{เมื่อ } t = (i-1)L + j \quad ; i = 1, 2, \dots, m \text{ และ } j = 1, 2, \dots, L$$

- หาค่าเฉลี่ยของค่าประมาณของดัชนีฤดูกาลที่หน่วยเวลา  $i$  นับจากต้นฤดูกาล จากสูตร

$$\bar{C}_j = \frac{1}{m} \sum_{i=1}^m \tilde{C}_{(i-1)L+j} = \frac{1}{m} \sum_{i=1}^m \tilde{C}_{ij} \quad ; i = 1, 2, \dots, m \text{ และ } j = 1, 2, \dots, L$$

- นำค่า  $\bar{C}_j$  มาปรับให้ผลรวมของดัชนีฤดูกาลทั้ง  $L$  ค่า ให้มีค่าเท่ากับ  $L$  จะได้ค่าประมาณเริ่มต้นของดัชนีฤดูกาล ดังนี้

$$\hat{C}_j = \bar{C}_j \left( \frac{L}{\sum_{j=1}^L \bar{C}_j} \right) \quad ; j = 1, 2, \dots, L$$

## 2) ตัวแบบเชิงบวก

การผันแปรตามฤดูกาลแต่ละช่วงจะลักษณะเช่นเดิม หรือแตกต่างจากเดิมไม่มากนักตามอิทธิพลจากฤดูกาล อนุกรมเวลานี้ไม่มีแนวโน้มภายในฤดูกาล แต่มีแนวโน้มระหว่างฤดูกาล โดยมีตัวแบบ ดังนี้

$$Y_t = b_0 + b_1 t + C_t + a_t$$

โดยที่	$Z_t$	แทน ข้อมูลหรือค่าสังเกต ณ เวลา $t$
	$b_0$	แทน ระดับของข้อมูล
	$b_1$	แทน ความลาดชัน
	$C_t$	แทน การผันแปรตามฤดูกาลที่เวลา $t$
	$a_t$	แทน ความคลาดเคลื่อน ที่มีค่าเฉลี่ยเท่ากับศูนย์ ไม่มีสหสัมพันธ์ในตัวและความแปรปรวนคงที่ ณ เวลา $t$

สำหรับสมการในการพยากรณ์ที่  $\tau$  หน่วยเวลาล่วงหน้า คือ

$$\hat{Z}_t(\tau) = \hat{b}_{0t} + \hat{b}_{1t}\tau + \hat{C}_{t-L+\tau}, \quad \tau = 1, 2, \dots, L$$

โดยที่	$\hat{b}_{0t}$	แทน ค่าประมาณของระดับข้อมูลที่เวลา $t$ โดยที่
		$\hat{b}_{0t} = \alpha [Z_t - \hat{C}_{t-L}] + (1-\alpha) [\hat{b}_{0(t-1)} + \hat{b}_{1(t-1)}]$
เมื่อ	$\alpha$	แทน ค่าคงที่ทำให้เรียบค่าที่หนึ่ง; $0 < \alpha < 1$
	$Z_t$	แทน ค่าข้อมูลจริงที่เวลา $t$
	$\hat{C}_{t-L}$	แทน ค่าประมาณของดัชนีฤดูกาลที่เวลา $t-L$
	$\hat{b}_{0(t-1)}$	แทน ค่าประมาณของระดับข้อมูลที่เวลา $t-1$
	$\hat{b}_{1(t-1)}$	แทน ค่าประมาณของความลาดชันที่เวลา $t-1$
โดยที่	$\hat{b}_{1t}$	แทน ค่าประมาณความลาดชันที่เวลา $t$
		$\hat{b}_{1t} = \beta [\hat{b}_{0t} - \hat{b}_{0(t-1)}] + (1-\beta) \hat{b}_{1(t-1)}$
เมื่อ	$\beta$	แทน ค่าคงที่ทำให้เรียบค่าที่สอง; $0 < \beta < 1$
	$\hat{b}_{0t}$	แทน ค่าประมาณของระดับข้อมูลที่เวลา $t$
	$\hat{b}_{0(t-1)}$	แทน ค่าประมาณของระดับข้อมูลที่เวลา $t-1$
	$\hat{b}_{1(t-1)}$	แทน ค่าประมาณของความลาดชันที่เวลา $t-1$
โดยที่	$\hat{C}_t$	แทน ค่าประมาณดัชนีฤดูกาลที่เวลา $t$
		$\hat{C}_t = \gamma [Z_t - \hat{b}_{0t}] + (1-\gamma) \hat{C}_{t-L}$
เมื่อ	$\gamma$	แทน ค่าคงที่ทำให้เรียบค่าที่สาม; $0 < \gamma < 1$

$Z_t$  แทน ค่าข้อมูลจริงที่เวลา  $t$

$\hat{b}_{0t}$  แทน ค่าประมาณของระดับข้อมูลที่เวลา  $t$

$\hat{C}_{t-L}$  แทน ค่าประมาณของดัชนีฤดูกาลที่เวลา  $t-L$

สำหรับการคำนวณค่าเริ่มต้น ของ  $\hat{b}_{0t}$ ,  $\hat{b}_{1t}$ ,  $\hat{C}_t$  ที่เวลา  $t = 1, 2, 3, \dots, L$  ใช้วิธีกำลังสองน้อยที่สุด จะได้

ให้  $m$  จำนวนฤดูกาลของข้อมูล

$L$  ความยาวของฤดูกาล

$mL$  จำนวนข้อมูลทั้งหมด

1. ค่าเริ่มต้นของ  $\hat{b}_{00}$  และ  $\hat{b}_{10}$  หาจากการแก้สมการ ดังนี้

$$mL\hat{b}_0 + \frac{mL(mL+1)}{2}\hat{b}_1 = \sum_{t=1}^{mL} Z_t$$

$$\frac{m(m-1)L^2}{2}\hat{b}_0 + \frac{m(m-1)L^2[(4m+1)L+3]}{12}\hat{b}_1 = \sum_{t=1}^{mL} tZ_t - \sum_{j=1}^L \sum_{i=1}^m jZ_{(i-1)L+j}$$

2. ค่าเริ่มต้นของ  $\hat{C}_t$  คือ  $\hat{C}_j$  จากสมการ ดังนี้

$$\hat{C}_j = \left[ \frac{1}{m} \sum_{i=1}^m Z_{(i-1)L+j} \right] - \hat{b}_0 - \hat{b}_1 \left[ j + \frac{(m-1)L}{2} \right] ; j = 1, 2, \dots, L$$

ส่วนค่า  $\alpha$ ,  $\beta$  และ  $\gamma$  ผู้วิจัยอาจเป็นผู้กำหนดเอง หรือใช้โปรแกรมสำเร็จรูปค้นหาค่าของ  $\alpha$ ,  $\beta$  และ  $\gamma$  ที่ทำให้ความคลาดเคลื่อนของการพยากรณ์มีค่าต่ำสุด

### 2.1.3 วิธีของบ็อกซ์และเจนกินส์ (Box-Jenkins's Method)

เป็นวิธีวิเคราะห์อนุกรมเวลาที่พัฒนาโดย George E.P. Box และ Gwilym M. Jenkins เมื่อปี ค.ศ. 1970 โดยนำเสนอตัวแบบ ARIMA และดำเนินการปรับปรุงในปี ค.ศ. 1994 โดยใช้หลักการ คือ เลือกตัวแบบที่ใช้ในการพยากรณ์โดยพิจารณาจาก ลักษณะของสหสัมพันธ์ในตัวเองและสหสัมพันธ์ในตัวเองบางส่วนของอนุกรมเวลา และกำหนดตัวแบบสโตแคสติกที่เป็นไปได้ที่มีลักษณะของสหสัมพันธ์ในตัวเองและสหสัมพันธ์ในตัวเองบางส่วนที่เหมือนกัน วิธีการนี้อาจมีตัวแบบที่เป็นไปได้มากกว่า 1 ตัวแบบ ดังนั้นจึงจำเป็นต้องมีขั้นตอนของการตรวจสอบเพื่อให้ได้ตัวแบบที่เหมาะสมสำหรับนำไปใช้ในการพยากรณ์ต่อไป (ยูภาพร คงประสิทธิ์, 2559)

อนุกรมเวลาที่จะนำมาใช้เพื่อการพยากรณ์มักมีลักษณะการเคลื่อนไหวที่แตกต่างกัน วิธีของบ็อกซ์และเจนกินส์ได้แบ่งออกเป็น 2 ลักษณะ ตามการเคลื่อนไหวของอนุกรมเวลาดังนี้

### 2.1.3.1 อนุกรมเวลาที่เสถียร (Stationary series)

เป็นอนุกรมเวลาที่มีค่าเฉลี่ยและความแปรปรวนของ  $Y_t$  คงที่ นอกจากนั้นค่าสัมประสิทธิ์สหสัมพันธ์ในตัวเองที่ช่วงเวลาห่างกัน  $k$  หน่วย ขึ้นอยู่กับ  $k$  อย่างเดียวหรือ ไม่ขึ้นกับเวลา  $t$  อนุกรมเวลาที่จะกำหนดรูปแบบ  $ARMA(p, q)$  ให้ต้องเป็นอนุกรมเวลาที่เป็นเสถียร (ทรงศิริ แต่สมบัติ, 2549) การพิจารณาว่าอนุกรมเวลาชุดใดชุดหนึ่ง เสถียรหรือไม่ พิจารณาจาก

ก. การพล็อตกราฟของอนุกรมเวลา แล้วดูการเคลื่อนไหวของอนุกรมเวลา ถ้าการเคลื่อนไหวของอนุกรมเวลามีแนวโน้ม หรือฤดูกาล หรือมีทั้ง 2 อย่าง แสดงว่าอนุกรมเวลานั้นไม่เสถียร

ข. พิจารณาออเรโลโรแกรมของ  $r_k$  มีลักษณะลดลงอย่างรวดเร็ว เมื่อ  $k$  มีค่าเพิ่มขึ้น แต่ถ้า  $r_k$  มีลักษณะลดลงค่อนข้างช้าหรือมีค่าค่อนข้างสูงที่  $k = L, 2L, 3L, \dots$  เมื่อ  $L$  เป็นจำนวนฤดูกาล แสดงว่าอนุกรมเวลานั้นไม่เสถียร (สมเกียรติ เกตุเยี่ยม, 2546)

### 2.1.3.2 อนุกรมเวลาที่ไม่เสถียร (Nonstationary time series)

เป็นอนุกรมเวลาที่มีค่าเฉลี่ยและความแปรปรวนของ  $Y_t$  ไม่คงที่ หรือค่าใดค่าหนึ่งไม่คงที่ และค่าสัมประสิทธิ์สหสัมพันธ์ในตัวเองที่ช่วงเวลาห่างกัน  $k$  หน่วย ไม่ขึ้นอยู่กับเฉพาะ  $k$  อย่างเดียว แต่ขึ้นอยู่กับเวลา  $t$  ด้วย สำหรับอนุกรมเวลาที่มีแนวโน้ม หรือฤดูกาล การหารูปแบบ  $ARMA(p, q)$  ให้กับอนุกรมเวลาที่ไม่เสถียรทำได้ไม่ได้ในทันที ต้องแปลงอนุกรมเวลาที่ไม่เสถียรให้เป็นอนุกรมเวลาใหม่ที่มีคุณสมบัติเสถียรก่อน รายละเอียดของการแปลงอนุกรมเวลามีดังนี้

ก. หาผลต่าง ถ้าอนุกรมเวลาที่มีการเคลื่อนไหวเนื่องจากแนวโน้ม จะแปลงอนุกรมเวลาเดิมเป็นอนุกรมเวลาใหม่ที่ไม่มีแนวโน้ม โดย  $Z_t = \nabla^d Y_t$  ซึ่ง  $d$  เป็นจำนวนครั้งของการหาผลต่างจำนวนครั้งที่หาผลต่างขึ้นกับว่า เมื่อหาผลต่างแล้วอนุกรมเวลาใหม่เป็นเสถียรหรือไม่ ถ้ายังไม่เป็นเสถียรต้องหาผลต่างต่อไป

ข. หาผลต่างฤดูกาล ถ้าอนุกรมเวลาที่มีการเคลื่อนไหวเนื่องจากฤดูกาลจะแปลงอนุกรมเวลาเดิมเป็นอนุกรมเวลาใหม่ที่ไม่มีฤดูกาล โดย  $Z_t = \nabla_L^D Y_t$  ซึ่ง  $D$  เป็นจำนวนครั้งของการหาผลต่างฤดูกาล และ  $L$  เป็นจำนวนฤดูกาลต่อปี จำนวนครั้งที่หาผลต่างฤดูกาลขึ้นกับว่า เมื่อหาผลต่างฤดูกาลแล้วอนุกรมเวลาใหม่เป็นเสถียรหรือไม่ ถ้ายังไม่เป็นเสถียรต้องหาผลต่างฤดูกาลต่อไป

ค. หาผลต่างและผลต่างฤดูกาล กรณีที่อนุกรมเวลาที่มีการเคลื่อนไหวเนื่องจากแนวโน้มและฤดูกาล จะแปลงอนุกรมเวลาเดิมเป็นอนุกรมเวลาใหม่ที่ไม่มีแนวโน้มและฤดูกาลโดยหาผลต่างและผลต่างฤดูกาล ซึ่ง  $Z_t = \nabla^d \nabla_L^D Y_t$  จำนวนครั้งที่หาผลต่างและผลต่างฤดูกาลที่กำหนดด้วย  $d$  และ  $D$  ตามลำดับขึ้นอยู่กับว่าอนุกรมเวลาใหม่ที่สร้างขึ้นเป็นเสถียรหรือไม่

ง. หากอนุกรมเวลาที่แปลงแล้ว ความผันแปรของอนุกรมเวลาไม่คงที่ นั่นคือค่าความแปรปรวนของ  $Y_t$  ไม่คงที่จะแปลงให้เป็นอนุกรมเวลาใหม่ด้วย  $Z_t = \ln(Y_t)$  หรือ  $Z_t = \sqrt{Y_t}$  อนุกรมเวลาที่แปลงแล้วจะมีค่าความแปรปรวนคงที่ นอกจากนั้นผลจากการแปลงอนุกรมเวลาที่มีรูปแบบแนวโน้มฤดูกาลแบบคูณจะได้อนุกรมเวลาใหม่ที่มีรูปแบบแนวโน้มฤดูกาลแบบบวก (ทรงศิริ แต่สมบัติ, 2549)

### 2.1.3.3 สหสัมพันธ์ในตัวเอง (Autocorrelation: ACF) เมื่อเวลาซ้อนหลังไป $k$ หน่วยเวลา

สหสัมพันธ์ระหว่างตัวแปรสุ่มที่หน่วยเวลาห่างกัน  $k$  หน่วยของกระบวนการเดียวกันเรียกว่า สหสัมพันธ์ในตัวเอง (Autocorrelation) เป็นมาตรวัดความสัมพันธ์ระหว่างตัวแปรสุ่ม  $Z_t$  และ  $Z_{t-k}$  ซึ่ง ห่างกัน  $k$  หน่วยเวลา ในอนุกรมเวลาเดียวกัน เขียนแทนด้วย  $\rho_k$  เรียกว่า สัมประสิทธิ์สหสัมพันธ์ในตัวเองเมื่อเวลาซ้อนหลังไป  $k$  หน่วย

ในทางปฏิบัติ ค่า  $\rho_k$  จะประมาณจากอนุกรมเวลาตัวอย่างขนาด  $n$  ค่าแทนด้วย  $Z_1, Z_2, \dots, Z_n$  และเรียกว่า สหสัมพันธ์ในตัวเองของตัวอย่างที่ช่วงเวลาห่างกัน  $k$  หน่วยเขียนแทนด้วย  $r_k$  คำนวณได้จาก (ยูภาพร ดงประสิทธิ์, 2559)

$$r_k = \frac{\sum_{t=1}^{n-k} (Z_t - \bar{Z})(Z_{t+k} - \bar{Z})}{\sum_{t=1}^n (Z_t - \bar{Z})^2} = \frac{\sum_{t=k+1}^n (Z_t - \bar{Z})(Z_{t-k} - \bar{Z})}{\sum_{t=1}^n (Z_t - \bar{Z})^2}, k = 0, 1, 2, 3, \dots; -1 \leq r_k \leq 1$$

โดยที่  $Z_t$  คือ ข้อมูลหรือค่าสังเกต ณ เวลา  $t$

$k$  คือ จำนวนช่วงเวลาข้อมูลที่อยู่ห่างกัน  $k = 0, 1, 2, 3, \dots$

$n$  คือ จำนวนข้อมูลทั้งหมด

$\bar{Z}$  คือ ค่าเฉลี่ยของข้อมูลทั้งหมดโดยที่  $\bar{Z} = \frac{1}{n} \sum_{t=1}^n Z_t$

### 2.1.3.4 สหสัมพันธ์ในตัวเองบางส่วน (Partial Autocorrelation: PACF) เมื่อเวลาซ้อนหลังไป $k$ หน่วยเวลา

การพิจารณาสหสัมพันธ์ระหว่างตัวแปรสุ่ม  $Z_t$  และ  $Z_{t-k}$  อาจเป็นไปได้ว่า สหสัมพันธ์ดังกล่าวเกิดจากสหสัมพันธ์ระหว่างสองตัวแปรนี้กับตัวแปรที่เหลือนั่นคือ  $Z_{t-1}, Z_{t-2}, \dots, Z_{t-k+1}$  ด้วย ดังนั้น เพื่อให้ได้ สหสัมพันธ์ที่ไม่รวมความสัมพันธ์ระหว่าง  $Z_t$  และ  $Z_{t-k}$  กับ  $Z_{t-1}, Z_{t-2}, \dots, Z_{t-k+1}$  สามารถวัดด้วย “สหสัมพันธ์ในตัวเองบางส่วนระหว่างตัวแปรสุ่ม  $Z_t$  และ  $Z_{t-k}$ ”

สหสัมพันธ์ในตัวเองบางส่วนระหว่างตัวแปรสุ่ม  $Z_t$  และ  $Z_{t-k}$  เขียนแทนด้วย  $\varphi_{kk}$  หมายถึง ความสัมพันธ์ระหว่างตัวแปร  $Z_t$  และ  $Z_{t-k}$  ที่ไม่รวมความสัมพันธ์ระหว่างตัวแปรทั้งสองนี้กับตัวแปร  $Z_{t-1}, Z_{t-2}, \dots, Z_{t-k+1}$  (ยูภาพร ดงประสิทธิ์, 2559)

ค่าประมาณของ  $\varphi_{kk}$  คือ  $\hat{\phi}_{kk}$  หาได้จาก

$$\hat{\phi}_{kk} = \begin{cases} r_1 & , k=1 \\ \frac{r_k - \sum_{j=1}^{k-1} \hat{\phi}_{k-1,j} r_{k-j}}{1 - \sum_{j=1}^{k-1} \hat{\phi}_{k-1,j} r_j} & , k=2,3,4,\dots \end{cases}$$

$$\text{เมื่อ } \hat{\phi}_{kj} = \hat{\phi}_{k-1,j} - \hat{\phi}_{kk} \hat{\phi}_{k-1,k-j} \quad j=1,2,3,\dots,k-1, \quad k=2,3,4,\dots$$

**2.1.3.5 กำหนดตัวแบบ (Identification)** พิจารณาจากลักษณะของสหสัมพันธ์ในตัวเอง ( $\rho_k$ ) และสหสัมพันธ์ในตัวเองบางส่วน ( $\phi_{kk}$ ) ของอนุกรมเวลาที่พิจารณา โดยกำหนดตัวแบบสโตแคสติกที่มีลักษณะของสหสัมพันธ์ในตัวเอง (ACF) และสหสัมพันธ์ในตัวเองบางส่วน (PACF) ใกล้เคียงกันหรือเหมือนกัน ซึ่งอาจจะกำหนดได้มากกว่า 1 ตัวแบบ (ยูภาพร ดงประสิทธิ์, 2559) ซึ่งมีตัวแบบดังนี้

**ตัวแบบที่ 1 กระบวนการถดถอยในตัวเอง (Autoregressive Process of Order  $p$  :  $AR(p)$ )**

คือ กระบวนการเชิงเส้นทั่วไปที่อธิบายตัวแปรสุ่ม  $Z_t$  ในเทอมของค่าสังเกตในอดีตและความรบกวนสุ่มในปัจจุบัน  $a_t$  โดยใช้น้ำหนัก  $\pi_j$  กระบวนการถดถอยในตัวเองอันดับ  $p$  (Autoregressive Process of Order  $p$  :  $AR(p)$ ) คือ กระบวนการเชิงเส้นทั่วไปที่อธิบายตัวแปรสุ่ม  $Z_t$  ในเทอมของค่าสังเกตในอดีตจำนวน  $p$  ค่าและความรบกวนสุ่มในปัจจุบัน  $a_t$  โดยการกำหนดน้ำหนัก  $\pi_j = \phi_j$  ,  $j = 1,2,\dots, p$  มีตัวแบบดังนี้

$$(1 - \phi_1 B - \phi_2 B^2 - \dots - \phi_p B^p)(Z_t - \mu) = a_t$$

ลักษณะของ  $\rho_k$  และ  $\phi_{kk}$  ของกระบวนการ  $AR(p)$  เป็นดังนี้

1)  $\rho_k$  มีจำนวนอนันต์ และลดลงเข้าสู่ศูนย์แบบเอกซ์โปเนนเชียล หรือลดลงเข้าสู่ศูนย์แบบคลื่นไซน์

2)  $\phi_{kk}$  Cut-off เมื่อ  $k > p$  หรือ  $AR(p)$  มีความจำในอดีตเพียง  $p$  หน่วยเวลา และ  $\phi_{kk} \neq 0$ , เมื่อ

$$k \leq p$$

กระบวนการ  $AR(1)$  มีตัวแบบดังนี้  $(1 - \phi_1 B)(Z_t - \mu) = a_t$  ลักษณะของ  $\rho_k$  มีค่าเข้าใกล้ 0 เมื่อ  $k$  มีค่ามากขึ้น และ  $\phi_{kk} \neq 0, k=1$  และ  $\phi_{kk} = 0, k > 1$

กระบวนการ  $AR(2)$  มีตัวแบบดังนี้  $(1 - \phi_1 B - \phi_2 B^2)(Z_t - \mu) = a_t$  ลักษณะของ  $\rho_k$  มีค่าเข้าใกล้ 0 เมื่อ  $k$  มีค่ามากขึ้น และ  $\phi_{kk} \neq 0, k=1,2$  และ  $\phi_{kk} = 0, k > 2$

**ตัวแบบที่ 2 กระบวนการค่าเฉลี่ยเคลื่อนที่ (Moving Average Process of Order  $q$  :  $MA(q)$ )**

คือ กระบวนการเชิงเส้นทั่วไปที่อธิบายค่า  $Z_t$  ในเทอมของความรบกวนสุ่ม  $a_t$  ย้อนหลังไปในอดีตจำนวน  $q$  เทอม เมื่อกำหนดให้น้ำหนัก  $\psi_j = -\theta_j$  ค่า  $Z_t$  ได้มาจากการให้น้ำหนัก  $1, -\theta_1, -\theta_2, \dots$  กับตัวแปรสุ่มอิสระ  $a_t, a_{t-1}, a_{t-2}, \dots$  และค่า  $Z_{t+1}$  ได้มาจากการให้น้ำหนักชุดเดียวกันนี้กับตัวแปรสุ่มอิสระ  $a_{t+1}, a_{t+2}, \dots, a_{t+q}$  นั่นคือการเลื่อนน้ำหนักชุดนี้ไปที่ละหนึ่งหน่วยเวลา จึงเรียกกระบวนการนี้ว่า กระบวนการค่าเฉลี่ยเคลื่อนที่ ซึ่งมีตัวแบบดังนี้

$$Z_t - \mu = (1 - \theta_1 B - \theta_2 B^2 - \dots - \theta_q B^q) a_t$$



ลักษณะของ  $\rho_k$  และ  $\phi_{kk}$  ของกระบวนการ  $MA(q)$  เป็นดังนี้

1)  $\rho_k$  Cut-off, เมื่อ  $k > q$  หรือกระบวนการมีความจำเพียง  $q$  หน่วยเวลา และ  $\rho_k \neq 0$ , เมื่อ  $k \leq q$

2)  $\phi_{kk}$  มีจำนวนอนันต์ และลดลงเข้าสู่ศูนย์แบบเอกซ์โปเนนเชียล หรือลดลงเข้าสู่ศูนย์แบบคลื่นไซน์

กระบวนการ  $MA(1)$  มีตัวแบบดังนี้  $Z_t - \mu = (1 - \theta_1 B)a_t$  ลักษณะของ  $\rho_{kk} \neq 0, k = 1$  และ  $\rho_{kk} = 0, k > 1$  และ  $\phi_{kk}$  มีค่าเข้าใกล้ 0 เมื่อ  $k$  มีค่ามากขึ้น

กระบวนการ  $MA(2)$  มีตัวแบบดังนี้  $Z_t - \mu = (1 - \theta_1 B - \theta_2 B^2)a_t$  ลักษณะของ  $\rho_{kk} \neq 0, k = 1, 2$  และ  $\rho_{kk} = 0, k > 2$  และ  $\phi_{kk}$  มีค่าเข้าใกล้ 0 เมื่อ  $k$  มีค่ามากขึ้น

**ตัวแบบที่ 3 กระบวนการผสมถอยในตัวเองกับค่าเฉลี่ยเคลื่อนที่อันดับ  $p$  และ  $q$  (Mixed**

**Autoregressive-Moving Average Process of Order  $p$  and  $q$  :  $ARMA(p, q)$ )**

คือ กระบวนการที่ค่าสังเกตในปัจจุบัน  $Z_t$  เป็นทั้งฟังก์ชันของค่าสังเกตในอดีต  $p$  หน่วยเวลาย้อนหลัง และตัวแปรสุ่ม  $a_t$  ที่เป็นอิสระกันในปัจจุบันและย้อนหลังไปในอดีต  $q$  หน่วยเวลา กระบวนการนี้จึงมีทั้งเทอม  $AR$  จำนวน  $p$  เทอมและเทอม  $MA$  จำนวน  $q$  เทอมกระบวนการ  $ARMA(p, q)$  มีตัวแบบ ดังนี้

$$(1 - \phi_1 B - \phi_2 B^2 - \dots - \phi_p B^p)(Z_t - \mu) = (1 - \theta_1 B - \theta_2 B^2 - \dots - \theta_q B^q)a_t$$

ลักษณะ  $\rho_k$  ของกระบวนการ  $ARMA(p, q)$  เหมือนกับลักษณะ  $\rho_k$  ของกระบวนการ  $AR(p)$  นั่นคือ  $\rho_k$  ลดลงเข้าสู่ศูนย์แบบเอกซ์โปเนนเชียล

ลักษณะ  $\phi_{kk}$  ของกระบวนการ  $ARMA(p, q)$  เหมือนกับ ลักษณะ  $\phi_{kk}$  ของกระบวนการ  $MA(q)$  เมื่อ  $k > p - q$  นั่นคือ  $\phi_{kk}$  ลดลงเข้าสู่ศูนย์แบบเอกซ์โปเนนเชียล และ  $\phi_{kk}$  มีลักษณะแตกต่างออกไป เมื่อ  $k \leq p - q$

กระบวนการ  $ARMA(1, 1)$  มีตัวแบบดังนี้  $(1 - \phi_1 B)(Z_t - \mu) = (1 - \theta_1 B)a_t$  มีลักษณะของ  $\rho_k$  มีค่าเข้าใกล้ 0 เมื่อ  $k$  มีค่ามากขึ้น และ  $\phi_{kk}$  มีค่าเข้าใกล้ 0 เมื่อ  $k$  มีค่ามากขึ้น

**ตัวแบบที่ 4 กระบวนการถดถอยในตัวเองบูรณาการกับค่าเฉลี่ยเคลื่อนที่อันดับ  $p, d, q$  (Autoregressive**

**Integrated Moving Average Process of Order  $p, d$  and  $q$ :  $ARIMA(p, d, q)$ )**

คือ อนุกรมเวลาที่ไม่เสถียรเนื่องจากแนวโน้ม เป็นอนุกรมเวลาที่มีค่าคาดหวังของ  $Z_t$  ที่แต่ละเวลา  $t$  ไม่คงที่ โดยรูปแบบ  $ARIMA(p, d, q)$  มี  $p$  เป็นอันดับของกระบวนการ  $AR$ ,  $d$  เป็นครั้งที่ของผลต่าง และ  $q$  เป็นอันดับของกระบวนการ  $MA$

ตัวแบบของกระบวนการ  $ARIMA(p, d, q)$  มีทั้งเทอม  $AR$  และ  $MA$  ดังนี้

$$(1 - \phi_1 B - \phi_2 B^2 - \dots - \phi_p B^p)(1 - B)^d Z_t = \delta + (1 - \theta_1 B - \theta_2 B^2 - \dots - \theta_q B^q)a_t$$

เมื่อ  $(1 - B)^d Z_t$  แทน ผลต่างครั้งที่  $d$ ,  $d = 1, 2, \dots$

$$\delta \text{ เป็นค่าคงที่, } \delta = (1 - \phi_1 - \phi_2 - \dots - \phi_p)\mu$$

เมื่อพิจารณาลักษณะของ ACF ของอนุกรมเวลาที่ไม่เสถียรเนื่องจากแนวโน้มจะเห็นว่า มีลักษณะไม่ต่างกันสำหรับแต่ละรูปแบบ นั่นคือลักษณะ ACF จะลดลงอย่างช้า ๆ เมื่อแปลงอนุกรมเวลาที่ไม่เสถียรเนื่องจาก

แนวโน้ม ให้เป็นอนุกรมเวลาใหม่ที่เสถียรขึ้น ACF กับ PACF จะบอกลักษณะของอนุกรมเวลาใหม่ได้ (ทรงศิริ แต่สมบัติ, 2549)

**ตัวแบบที่ 5 กระบวนการถดถอยในตัวเองแบบมีฤดูกาลอันดับ  $P$  (Seasonal Autoregressive Process of Order  $P$ :  $AR(P)_s$ )**

$AR(P)_s$  เป็นกระบวนการที่มีการผันแปรตามฤดูกาล มีคาบของฤดูกาล  $s$  หน่วยเวลา และค่าสังเกตเฉพาะที่อยู่ห่างกัน  $s$  หน่วยเวลา มีความสัมพันธ์กันสูง จึงอธิบายค่าสังเกตที่หน่วยเวลา  $t$  ในรูปของค่าสังเกตในอดีตย้อนหลังที่หน่วยเวลา  $t-s$  จนถึง  $t-Ps$  โดยการกำหนดน้ำหนัก  $\Gamma_j$ ,  $j=1,2,...,P$  และความรบกวนสุ่มในปัจจุบัน  $a_t$  มีตัวแบบดังนี้

$$(1-\Gamma_1 B^s - \Gamma_2 B^{2s} - \dots - \Gamma_P B^{Ps})Z_t = \delta + a_t$$

ลักษณะของ  $\rho_{ks}$ ,  $k=1,2,...$  ลดลงเข้าสู่ศูนย์แบบเอกซ์โปเนนเชียลหรือแบบคลื่นไซน์เช่นเดียวกับกระบวนการ  $AR(p)$

ลักษณะของ  $\phi_{ks,ks}$  มีค่าไม่เป็นศูนย์ เมื่อช่วงเวลาที่ห่างกัน  $k \leq P$  และมีค่าเป็นศูนย์เมื่อช่วงเวลาที่ห่างกัน  $k > P$  เช่นเดียวกับกระบวนการ  $AR(p)$

**ตัวแบบที่ 6 กระบวนการค่าเฉลี่ยเคลื่อนที่แบบมีฤดูกาลอันดับ  $Q$  (Seasonal Moving Average Process of Order  $Q$ :  $MA(Q)_s$ )**

$MA(Q)_s$  เป็นกระบวนการที่มีการเปลี่ยนแปลงตามฤดูกาล มีคาบของฤดูกาล  $s$  หน่วยเวลา และค่าสังเกตเฉพาะที่อยู่ห่างกัน  $s$  หน่วยเวลา มีความสัมพันธ์กันสูง จึงอธิบายค่าสังเกตที่หน่วยเวลา  $t$  ในรูปของการรบกวนสุ่มในปัจจุบัน  $a_t$  และการรบกวนสุ่มในอดีตย้อนหลังที่หน่วยเวลา  $t-s$  จนถึง  $t-Qs$  โดยการกำหนดน้ำหนัก  $-\Delta_j$ ,  $j=1,2,...,Q$  มีตัวแบบดังนี้

$$Z_t = (1-\Delta_1 B^s - \Delta_2 B^{2s} - \dots - \Delta_Q B^{Qs})a_t + \delta$$

ลักษณะของ  $\rho_{ks}$  มีค่ามากกว่าศูนย์ เมื่อ  $k=1,2,3,...,Q$  ที่เหลือจะมีค่าเป็นศูนย์ทั้งหมด เหมือนกับกระบวนการ  $MA(q)$

ลักษณะของ  $\phi_{ks,ks}$  เมื่อ  $k=1,2,3,...$  ลดลงเข้าสู่ศูนย์แบบเอกซ์โปเนนเชียลหรือแบบคลื่นไซน์เช่นเดียวกับกระบวนการ  $MA(q)$

**ตัวแบบที่ 7 กระบวนการผสมถดถอยในตัวเองกับค่าเฉลี่ยเคลื่อนที่แบบมีฤดูกาลอันดับ  $P$  และ  $Q$  (Seasonal Mixed Autoregressive - Moving Average Process of Order  $P$  and  $Q$ :  $ARMA(P,Q)_s$ )**

เป็นกระบวนการที่มีการเปลี่ยนแปลงตามฤดูกาล มีคาบของฤดูกาล  $s$  หน่วยเวลา และค่าสังเกตเฉพาะที่อยู่ห่างกัน  $s$  หน่วยเวลา มีความสัมพันธ์กันสูง จึงอธิบายค่าสังเกตที่หน่วยเวลา  $t$  ในรูปของค่าสังเกตในอดีตย้อนหลังที่หน่วยเวลา  $t-s$  จนถึง  $t-Ps$  และความรบกวนสุ่มในปัจจุบัน  $a_t$  และการรบกวนสุ่มในอดีตย้อนหลังที่หน่วยเวลา  $t-s$  จนถึง  $t-Qs$  ซึ่งมีทั้งเทอม  $AR$  และ  $MA$  มีตัวแบบดังนี้

$$(1-\Gamma_1 B^s - \Gamma_2 B^{2s} - \dots - \Gamma_P B^{Ps})Z_t = \delta + (1-\Delta_1 B^s - \Delta_2 B^{2s} - \dots - \Delta_Q B^{Qs})a_t$$

ลักษณะของ  $\rho_{ks}$  ลดลงเข้าสู่ศูนย์แบบเอกซ์โปเนนเชียลหรือแบบคลื่นไซน์

ลักษณะของ  $\phi_{ks,ks}$  ลดลงเข้าสู่ศูนย์แบบเอกซ์โปเนนเชียลหรือแบบคลื่นไซน์

**ตัวแบบที่ 8** กระบวนการถดถอยในตัวเองบูรณาการกับค่าเฉลี่ยเคลื่อนที่แบบมีฤดูกาลอันดับ  $P$ ,  $D$  และ  $Q$   
(Seasonal Autoregressive Integrated Moving Average Process of Order  $P$ ,  $D$  and  $Q$ :  $ARIMA(P, D, Q)_s$ )

มีข้อสมมติฐาน คือ ค่าสังเกตที่อยู่ภายในฤดูกาลเดียวกันไม่มีสหสัมพันธ์ต่อกัน แต่จะมีค่าสหสัมพันธ์ในตัวเองแตกต่างจากศูนย์เฉพาะช่วงห่าง  $s, 2s, 3s, \dots$  เท่านั้น

บ็อกซ์และเจนกินส์ ได้แนะนำกระบวนการ  $ARIMA(P, D, Q)_s$  โดยที่

$P$  คือ อันดับของ Seasonal Autoregressive

$Q$  คือ อันดับของ Seasonal Moving Average

$D$  คือ ผลต่างระหว่างฤดูกาล (Seasonal difference)

$s$  คือ ความยาวของฤดูกาล

กระบวนการ  $ARIMA(P, D, Q)_s$  ใช้กับอนุกรมเวลาที่มีความแปรผันตามฤดูกาลที่มีการหาผลต่างระหว่างฤดูกาล มีตัวแบบดังนี้

$$(1 - \Gamma_1 B^s - \Gamma_2 B^{2s} - \dots - \Gamma_P B^{Ps})(1 - B^s)^D Z_t = \delta + (1 - \Delta_1 B^s - \Delta_2 B^{2s} - \dots - \Delta_Q B^{Qs})a_t$$

**ตัวแบบที่ 9** กระบวนการแบบมีฤดูกาลเชิงคูณทั่วไป (Multiplicative seasonal autoregressive integrated moving average process of order  $(p, d, q)(P, D, Q)_s$ :  $ARIMA(p, d, q)(P, D, Q)_s$ )

คือ กระบวนการที่ค่าสังเกตอาจมีสหสัมพันธ์ต่อกันภายในฤดูกาลเดียวกัน และมีสหสัมพันธ์ระหว่างฤดูกาล ดังนั้นบ็อกซ์และเจนกินส์ จึงได้แนะนำตัวแบบที่มีฤดูกาลเชิงคูณทั่วไป ซึ่งสามารถใช้ได้ทั้งกับตัวแบบเชิงบวก และตัวแบบเชิงคูณ โดยมีตัวแบบดังนี้

$$(1 - \Gamma_1 B^s - \Gamma_2 B^{2s} - \dots - \Gamma_P B^{Ps})(1 - \phi_1 B - \phi_2 B^2 - \dots - \phi_p B^p)(1 - B^s)^D (1 - B)^d Z_t = \delta + (1 - \Delta_1 B^s - \Delta_2 B^{2s} - \dots - \Delta_Q B^{Qs})(1 - \theta_1 B - \theta_2 B^2 - \dots - \theta_q B^q)a_t$$

### 2.1.3.6 การประมาณค่าพารามิเตอร์

เป็นการหาค่าประมาณของพารามิเตอร์ในรูปแบบด้วยวิธีการประมาณแบบต่าง ๆ ได้แก่

ก. วิธีการประมาณแบบง่าย เริ่มจากการสร้างสมการความสัมพันธ์ระหว่าง  $\rho_k$  และพารามิเตอร์ใน ตัวแบบ จำนวนสมการที่สร้างขึ้นเท่ากับจำนวนพารามิเตอร์ในตัวแบบที่ไม่รวมค่าคงที่  $\theta$  หรือเท่ากับ  $p+q$  เมื่อแทน  $\rho_k$  ด้วย  $r_k$  และแทนพารามิเตอร์  $\theta$  ด้วยตัวประมาณ  $\hat{\theta}$  ค่าตอบของสมการจะเป็นค่าประมาณของพารามิเตอร์

ข. วิธีกำลังสองน้อยที่สุด ค่าประมาณของพารามิเตอร์ในตัวแบบที่ได้จากวิธีกำลังสองน้อยที่สุด เป็นค่าประมาณที่ให้ผลรวมกำลังสองของความคลาดเคลื่อนของการพยากรณ์มีค่าน้อยที่สุด การประมาณจะเริ่มจากการกำหนดค่าเริ่มต้นของพารามิเตอร์ซึ่งอาจจะเป็นค่าประมาณจากวิธีการประมาณแบบง่าย การคำนวณจะทำหลายรอบ จนกว่าจะได้ค่าประมาณที่คงที่และให้ค่า SSE ที่ต่ำที่สุด

ค. วิธีภาวน่าจะเป็นสูงสุด มีหลักการทำนองเดียวกับวิธีกำลังสองน้อยที่สุด แต่วิธีภาวน่าจะเป็นสูงสุดต้องการข้อสมมติเกี่ยวกับลักษณะการแจกแจงแบบปกติของ  $\varepsilon_t$  ค่าประมาณจากวิธีภาวน่าจะเป็นสูงสุด เป็นค่าประมาณที่ทำให้ฟังก์ชันภาวน่าจะเป็นสูงสุด (ทรงศิริ แต่สมบัติ, 2549)

### 2.1.3.7 ตรวจสอบความเหมาะสมของตัวแบบ โดยการตรวจสอบคุณสมบัติของความคลาดเคลื่อน

1) ความคลาดเคลื่อนไม่มีสหสัมพันธ์ในตัวเอง

โดยการทดสอบ Box-Ljung

$$\text{ทดสอบสมมติฐาน } H_0 : \rho_1(a_t) = \rho_2(a_t) = \rho_3(a_t) = \dots = \rho_m(a_t) = 0$$

$$H_0 : \rho_k(a_t) \neq 0 \text{ อย่างน้อย 1 ค่า, } k = 1, 2, \dots, m$$

ระดับนัยสำคัญ  $\alpha$

$$\text{ตัวสถิติทดสอบ คือ } Q_m = n(n+2) \sum_{k=1}^m \left( \frac{r_k^2(a_t)}{n-k} \right)$$

เมื่อ  $m$  คือ จำนวน  $\rho_k(a_t)$  ที่นำมาทดสอบ

$n$  คือ จำนวน  $a_t$

ถ้าปฏิเสธ  $H_0$  แสดงว่า ความคลาดเคลื่อนมีสหสัมพันธ์ในตัวเอง ที่ช่วงเวลาห่างกัน  $k$  หน่วย เวลาอย่างน้อย 1 ค่า

ถ้ายอมรับ  $H_0$  แสดงว่า ความคลาดเคลื่อนไม่มีสหสัมพันธ์ในตัวเอง ที่ช่วงเวลาห่างกัน  $k$  หน่วย เวลาทั้ง  $m$  ค่า

2) ค่าเฉลี่ยของความคลาดเคลื่อนเป็นศูนย์

$$\text{ทดสอบสมมติฐาน } H_0 : \mu_a = 0$$

$$H_1 : \mu_a \neq 0$$

กำหนดระดับนัยสำคัญ  $\alpha$

$$\text{ตัวสถิติทดสอบ คือ } T = \frac{\bar{a} - 0}{S_a / \sqrt{n}}$$

$$\text{เมื่อ } \bar{a} \text{ คือ ค่าเฉลี่ยของ } a_t = \frac{1}{n} \sum_{t=1}^n a_t$$

$$S_a^2 \text{ คือ ความแปรปรวนของ } a_t = \frac{1}{n-1} \sum_{t=1}^n (a_t - \bar{a})^2$$

$n$  คือ จำนวนของ  $a_t$

ปฏิเสธ  $H_0$  ถ้า  $T \geq t_{\alpha/2, (n-1)}$  ดังนั้น  $\mu_a$  ไม่เท่ากับ 0

ยอมรับ  $H_0$  ถ้า  $T < t_{\alpha/2, (n-1)}$  ดังนั้น  $\mu_a$  เท่ากับ 0

### 3) ความแปรปรวนของความคลาดเคลื่อนคงที่

โดยการพิจารณาแผนภาพการกระจายระหว่าง  $a_t$  กับ  $t$  หรือ  $Z_t$  หรือ  $\hat{Z}_t$  โดยให้แกนนอนแทน  $t$  หรือ  $Z_t$  หรือ  $\hat{Z}_t$  และแกนตั้งแทน  $a_t$  ถ้าค่า  $a_t$  กระจายอยู่รอบ ๆ ศูนย์ ในแนวนานกับแกนนอน และไม่มีรูปแบบที่แน่นอน หรือค่า  $a_t$  มีค่าในช่วงใดช่วงหนึ่งแคบ ๆ ไม่ว่า  $t$ ,  $Z_t$ ,  $\hat{Z}_t$  จะเปลี่ยนไปอย่างไร นั่นคือ ความแปรปรวนของ  $a_t$  คงที่ ถ้าค่า  $a_t$  เพิ่มขึ้น เมื่อ  $t$ ,  $Z_t$ ,  $\hat{Z}_t$  มีค่ามากขึ้น หรือ ค่า  $a_t$  ลดลงเมื่อ  $t$ ,  $Z_t$ ,  $\hat{Z}_t$  มีค่ามากขึ้น นั่นคือ ความแปรปรวนของ  $a_t$  ไม่คงที่

4) ความคลาดเคลื่อนมีการแจกแจงแบบปกติ สามารถพล็อตกราฟดูลักษณะข้อมูลได้หลายวิธี ตัวอย่างเช่น Normal Probability Plot (Normal Q-Q Plot) เป็นกราฟที่พล็อตค่าของข้อมูลจริงที่เกิดขึ้น กับค่าที่คาดไว้ เมื่อข้อมูลมีการแจกแจงแบบปกติ ซึ่งค่าที่คาดไว้จะเป็นเส้นตรง ค่าจริงจะอยู่รอบเส้นตรงอย่างสุ่ม จะสรุปว่า ข้อมูลจริงนั้นมีการแจกแจงแบบปกติ (ยูภาพร ตงประสิทธิ์, 2559)

#### 2.1.3.8 เกณฑ์การคัดเลือกตัวแบบจากวิธีของบ็อกซ์และเจนกินส์

ใช้เกณฑ์ข้อสนเทศของอาไคเค Akaike Information Criterion (AIC) เมื่อขนาดตัวอย่างใหญ่ การคัดเลือกตัวแบบโดยใช้เกณฑ์เอไอซีเลือกตัวแบบที่ให้ค่าเอไอซีต่ำสุดเป็นตัวแบบที่ใช้ในการอธิบายตัวแปรตามได้ และเกณฑ์เอไอซีสามารถคัดเลือกตัวแบบได้ดีเมื่อตัวอย่างมีขนาดใหญ่ (นันทพร บุญสุข และ จิราวัลย์ จิตรเวช, 2557) โดยหาได้จาก

$$AIC = n \cdot \ln \left( \frac{SSE}{n} \right) + 2p$$

โดยที่  $p$  คือ จำนวนตัวแปรอิสระ

$n$  คือ ขนาดตัวอย่าง

$SSE$  คือ ผลรวมกำลังสองของค่าความคลาดเคลื่อน

2.1.4 เปรียบเทียบค่าพยากรณ์จากวิธีการพยากรณ์ต่าง ๆ เพื่อให้มีเพียงหนึ่งตัวแบบที่ดีที่สุด โดยการเปรียบเทียบค่าความคลาดเคลื่อนต่อไปนี้

##### 2.1.4.1 รากที่สองของค่าความคลาดเคลื่อนกำลังสองเฉลี่ย (Root Mean Square Error, $RMSE$ )

$$RMSE = \sqrt{\frac{1}{n} \sum_{t=1}^n e_t^2}$$

#### 2.1.4.2 ค่าสัมบูรณ์ของความเบี่ยงเบนเฉลี่ย (Mean Absolute Error, *MAE*)

$$MAE = \frac{1}{n} \sum_{t=1}^n |e_t|$$

#### 2.1.4.3 ค่าสัมบูรณ์ของเปอร์เซ็นต์ของความคลาดเคลื่อนเฉลี่ย (Mean Absolute Percent Error, *MAPE*) มีหน่วยเป็น ร้อยละ

$$MAPE = \frac{100}{n} \sum_{t=1}^n \left| \frac{e_t}{Z_t} \right|$$

วิธีการที่ให้ค่า *RMSE*, *MAE* หรือ *MAPE* มีค่าน้อยกว่าวิธีการอื่น ๆ ย่อมเป็นวิธีที่ดีกว่า

## 2.2 ผลงานวิจัยที่เกี่ยวข้อง

จินตพร หนัวอินปัน, บุญอ้อม โคมทิ และ ประสิทธิ์ พัทธพงษ์ (2555) ได้ทำการศึกษาการเปรียบเทียบวิธีการพยากรณ์ 4 วิธี สำหรับความต้องการพลังงานไฟฟ้าสูงสุดในภาคกลางของประเทศไทย โดยมีวัตถุประสงค์เพื่อศึกษาและเปรียบเทียบวิธีการพยากรณ์ 4 วิธี คือ วิธีการปรับให้เรียบเอ็กซ์โปเนนเชียลแบบ Holt-Winter การวิเคราะห์การถดถอยที่ใช้ตัวแปรคัมมี วิธีของบอซ-เจนกินส์ และการวิเคราะห์การถดถอยแบบพหุคูณที่ใช้ตัวแปรคัมมีและเพื่อพยากรณ์ความต้องการพลังงานไฟฟ้าสูงสุดในภาคกลางของประเทศไทย โดยศึกษาข้อมูลจากการไฟฟ้าฝ่ายผลิตแห่งประเทศไทย โดยแบ่งข้อมูลออกเป็น 2 ส่วน ส่วนที่ 1 ข้อมูลตั้งแต่เดือนมกราคม 2545 ถึง เดือนธันวาคม 2550 สำหรับกำหนดรูปแบบและส่วนที่ 2 ข้อมูลตั้งแต่เดือนมกราคม 2551 ถึง เดือนธันวาคม 2551 เพื่อหาช่วงการพยากรณ์ล่วงหน้าที่เหมาะสมที่สุด และนำมาพยากรณ์ล่วงหน้า 3 ช่วง คือ 2 6 และ 12 เดือน จากนั้นเลือกวิธีการพยากรณ์ที่เหมาะสมพิจารณาจากค่าสัมบูรณ์ของเปอร์เซ็นต์ของความคลาดเคลื่อนเฉลี่ยค่าที่ต่ำที่สุด ผลการศึกษา พบว่า วิธีการพยากรณ์ที่ให้รูปแบบที่เหมาะสมที่สุด คือ วิธีการปรับให้เรียบเอ็กซ์โปเนนเชียลแบบ Holt-Winter จากรูปแบบดังกล่าวนำมาคำนวณช่วงการพยากรณ์ล่วงหน้า 2 6 และ 12 เดือน พบว่าวิธีนี้เหมาะสำหรับการพยากรณ์ระยะสั้นล่วงหน้า 2 เดือน

สุปราณี แซ่ลี (2555) ได้ทำการศึกษาการพยากรณ์การใช้กระแสไฟฟ้าในครัวเรือน โดยวิธีของบอซ-เจนกินส์ โดยมีวัตถุประสงค์เพื่อพยากรณ์การใช้กระแสไฟฟ้าในครัวเรือน โดยวิธีของบอซ-เจนกินส์ โดยใช้ข้อมูลรายเดือนตั้งแต่เดือนมกราคม พ.ศ.2546 ถึงเดือนธันวาคม พ.ศ.2555 รวมทั้งสิ้น 120 เดือน ใช้ข้อมูลจากการไฟฟ้านครหลวง การไฟฟ้าส่วนภูมิภาค กระทรวงมหาดไทย จากการศึกษาพบว่าอนุกรมเวลาคงที่ จึงกำหนดตัวแบบ โดยพิจารณาจากกราฟ ACF และ PACF ได้ตัวแบบที่เหมาะสมคือ ตัวแบบ ARIMA(1,0,0)(0,1,1)<sub>12</sub> วิธีของบอซ-เจนกินส์ที่ได้มานั้นมีความเหมาะสมแล้วจากการพยากรณ์การใช้ไฟฟ้าในครัวเรือนล่วงหน้าจำนวน 12 เดือน คือ ตั้งแต่เดือนมกราคม พ.ศ. 2556 ถึงเดือนธันวาคม พ.ศ. 2556 ได้ค่าความคลาดเคลื่อนรากที่สองเฉลี่ย 92.7362

**นิดา แก้วหาญ (2558)** ได้ทำการศึกษาการพยากรณ์ปริมาณการใช้ไฟฟ้าของประเทศไทย โดยใช้ตัวแบบ  $ARIMA_S$  และตัวแบบการถดถอยที่มีความคลาดเคลื่อนเป็นตัวแบบ  $ARMA$  โดยมีวัตถุประสงค์เพื่อศึกษาและเปรียบเทียบตัวแบบการพยากรณ์อนุกรมเวลา 2 ตัวแบบ คือ ตัวแบบ  $ARIMA_S$  และตัวแบบการถดถอยที่มีความคลาดเคลื่อนเป็นตัวแบบ  $ARMA$  ข้อมูลที่นำมาใช้ในการศึกษาเป็นข้อมูลอนุกรมเวลารายเดือนของปริมาณการใช้ไฟฟ้าของประเทศไทยซึ่งแบ่งการพยากรณ์เป็น 2 ช่วงเวลาคือ การพยากรณ์ข้อมูลในอดีตตั้งแต่เดือนมกราคม พ.ศ. 2545 ถึงเดือนธันวาคม พ.ศ.2556 เพื่อคัดเลือกตัวแบบที่เหมาะสมที่สุดในแต่ละตัวแบบพยากรณ์ทั้ง 2 ตัวแบบการพยากรณ์ล่วงหน้าตั้งแต่เดือนมกราคม พ.ศ.2557 ถึงเดือนพฤษภาคม พ.ศ.2557 จำนวน 5 เดือน เพื่อคัดเลือกตัวแบบที่ดีที่สุดมา 1 ตัวแบบโดยเกณฑ์ที่ใช้ในการเปรียบเทียบความคลาดเคลื่อนของการพยากรณ์ คือค่าเฉลี่ยของค่าสัมบูรณ์เปอร์เซ็นต์ความคลาดเคลื่อน (MAPE) จากการศึกษาพบว่าตัวแบบที่เหมาะสมที่สุดในการพยากรณ์ปริมาณการใช้ไฟฟ้าของประเทศไทยคือตัวแบบการถดถอยที่มีความคลาดเคลื่อนเป็นตัวแบบ  $ARMA(2,(6,20))$  โดยตัวแบบที่ได้มีค่าความคลาดเคลื่อนจากการพยากรณ์ล่วงหน้าเมื่อวัดด้วยค่า MAPE ค่าที่สุดเท่ากับ 1.7898 %

**ณัฐภัทร ก้อนเครือ และ กัลยา บุญหล้า (2559)** ได้ทำการศึกษาการพยากรณ์ปริมาณหน่วยจำหน่ายไฟฟ้าจังหวัดพิษณุโลกงานวิจัยนี้มีวัตถุประสงค์เพื่อศึกษาตัวแบบที่เหมาะสมในการพยากรณ์ปริมาณจำหน่ายไฟฟ้าของจังหวัดพิษณุโลก ข้อมูลที่ใช้ในการศึกษา คือ ข้อมูลปริมาณหน่วยจำหน่ายไฟฟ้ารายเดือน ระหว่างเดือนมกราคม พ.ศ. 2544 ถึงเดือนธันวาคม พ.ศ.2558 โดยศึกษาตัวแบบการพยากรณ์ด้วยวิธีการปรับให้เรียบแบบไฮลทวินเตอร์เชิงผลคูณ และ วิธีบ็อกซ์และเจนกินส์ จากนั้นนำมาเปรียบเทียบจากค่าเฉลี่ยของค่าสัมบูรณ์เปอร์เซ็นต์ความคลาดเคลื่อน (MAPE) ค่าที่สุดผลจากการศึกษาพบว่า วิธีบ็อกซ์และเจนกินส์เป็นวิธีที่เหมาะสมที่สุดสำหรับการพยากรณ์ปริมาณหน่วยจำหน่ายไฟฟ้า มีตัวแบบ  $ARIMA(1,1,1)(0,1,1)_{12}$  ซึ่งมีค่าคลาดเคลื่อนกำลังสองเฉลี่ยเท่ากับ 8.863

**ศศิประภา ตาลยงค์ (2560)** ได้ทำการศึกษาการเปรียบเทียบตัวแบบการพยากรณ์ปริมาณการใช้ไฟฟ้าของประเทศไทยโดยใช้ตัวแบบวินเทอร์ ตัวแบบอาร์มา และตัวแบบวินเทอร์ที่มีความคลาดเคลื่อนเป็นตัวแบบอาร์มา งานวิจัยนี้มีวัตถุประสงค์เพื่อศึกษาและเปรียบเทียบตัวแบบการพยากรณ์ปริมาณการใช้ไฟฟ้าของประเทศไทย โดยใช้ตัวแบบวินเทอร์ตัวแบบอาร์มา และตัวแบบวินเทอร์ที่มีความคลาดเคลื่อนเป็นตัวแบบอาร์มา เพื่อหาตัวแบบการพยากรณ์ที่เหมาะสมที่สุดในการพยากรณ์ปริมาณการใช้ไฟฟ้าของประเทศไทย ซึ่งข้อมูลอนุกรมเวลาที่นำมาใช้ในการวิเคราะห์เป็นข้อมูลปริมาณการใช้ไฟฟ้ารายเดือน โดยแบ่งข้อมูลเป็นสองส่วน คือ 1. ส่วนที่ใช้หาตัวแบบที่เหมาะสมในแต่ละวิธีการพยากรณ์ ใช้ข้อมูลตั้งแต่เดือนมกราคม พ.ศ.2547 ถึงเดือนธันวาคม พ.ศ.2557 จำนวน 132 เดือน 2. ส่วนใช้ในการเปรียบเทียบกับค่าพยากรณ์ล่วงหน้าที่ได้และคัดเลือกตัวแบบที่เหมาะสมที่สุด ใช้ข้อมูลตั้งแต่เดือนมกราคม พ.ศ.2558 ถึงเดือนธันวาคม พ.ศ.2558 จำนวน 12 เดือนและเกณฑ์ที่ใช้ในการเปรียบเทียบความคลาดเคลื่อนของการพยากรณ์ของแต่ละตัวแบบด้วยค่าเฉลี่ยของค่าสัมบูรณ์เปอร์เซ็นต์ความคลาดเคลื่อน (MAPE) โดยตัวแบบที่เหมาะสมจะให้ค่า MAPE ค่าที่สุด จากผลการวิจัยพบว่า ตัวแบบอาร์มามีความเหมาะสมที่สุด

## บทที่ 3

### วิธีดำเนินการวิจัย

การศึกษาวิจัยเรื่องการพยากรณ์ปริมาณการใช้ไฟฟ้าในมหาวิทยาลัยขอนแก่น ด้วยการวิเคราะห์อนุกรมเวลา โดยใช้วิธีการทำให้เรียบ (Smoothing Method) และ วิธีของบ็อกซ์และเจนกินส์ (Box-Jenkins's Method) เกณฑ์การพิจารณาที่นำมาใช้หาความเหมาะสมของตัวแบบ คือการเปรียบเทียบค่าความคลาดเคลื่อน ซึ่งวิธีการพยากรณ์แบบใดให้ค่าความคลาดเคลื่อนต่ำที่สุด วิธีนี้เป็นวิธีที่เหมาะสมกับข้อมูลที่นำมาพยากรณ์ ซึ่งมีวิธีดำเนินการวิจัยดังต่อไปนี้

- 3.1 เครื่องมือที่ใช้ในการวิจัย
- 3.2 การเก็บรวบรวมข้อมูล
- 3.3 การทำความสะอาดข้อมูล
- 3.4 การวิเคราะห์ข้อมูล

#### 3.1 เครื่องมือที่ใช้ในการวิจัย

เครื่องคอมพิวเตอร์, โปรแกรม Excel และ โปรแกรม R เหตุผลที่เลือกใช้โปรแกรม R เพราะเป็นโปรแกรมที่ได้รับความนิยมทางวิชาการจำนวนมาก เนื่องจากฟรีและไม่มีลิขสิทธิ์ และในโปรแกรมมีแพ็คเกจจำนวนมากให้เลือกใช้ มีการพัฒนาแพ็คเกจใหม่ ๆ เพิ่มขึ้นทุกวันจากนักวิจัยที่ชำนาญเรื่องนั้นโดยเฉพาะ ดังนั้นผู้วิจัยจึงเลือกใช้โปรแกรม R

#### 3.2 การเก็บรวบรวมข้อมูล

การวิจัยครั้งนี้ได้เก็บรวบรวมข้อมูลจากหน่วยไฟฟ้ากองอาคารและสถานที่ มหาวิทยาลัยขอนแก่น โดยอนุกรมเวลาที่ใช้ในการศึกษาเป็นข้อมูลทุติยภูมิรายเดือนของปริมาณการใช้ไฟฟ้ามหาวิทยาลัยขอนแก่น และแต่ละคณะในมหาวิทยาลัยขอนแก่น ตั้งแต่เดือนมกราคม พ.ศ.2551 ถึงเดือนพฤษภาคม พ.ศ. 2561

#### 3.3 การทำความสะอาดข้อมูล

3.3.1 ตรวจสอบความสมบูรณ์ ความถูกต้องของข้อมูล เช่น ต้องการข้อมูลการใช้ไฟฟ้าเป็นรายเดือนย้อนหลัง 10 ปี เราจะต้องตรวจสอบว่าได้ข้อมูลตามที่ต้องการและได้ครบทุกเดือนในแต่ละปี ไม่มีข้อมูลสูญหาย มีระยะเวลาที่ถูกต้อง



3.3.2 กำหนดเกณฑ์การบันทึกข้อมูลให้เป็นมาตรฐานเดียวกัน เช่น หน่วยปริมาณการใช้ไฟฟ้าเป็น หน่วย

3.3.3 กรณีที่มีข้อมูลสูญหาย เนื่องจากการพยากรณ์อนุกรมเวลาต้องใช้ข้อมูลจำนวนมากที่มีความต่อเนื่องกัน จึงไม่สามารถตัดข้อมูลที่สูญหายทิ้งได้ ดังนั้นจะต้องกลับไปติดต่อขอข้อมูลในส่วนที่หายใหม่อีกครั้ง

### 3.4 การวิเคราะห์ข้อมูล

ขั้นตอนในการวิเคราะห์ข้อมูล โดยใช้โปรแกรม R มีรายละเอียดดังนี้

#### 3.4.1 วิธีการทำให้เรียบ (Smoothing Method)

3.4.1.1 นำข้อมูลปริมาณการใช้ไฟฟ้าในมหาวิทยาลัยขอนแก่นมาตรวจสอบว่า มีลักษณะการเคลื่อนไหวแบบใด โดยสร้างกราฟเส้นและกราฟ ACF เพื่อดูลักษณะการเคลื่อนไหวของข้อมูล

3.4.1.2 ถ้าข้อมูลอนุกรมเวลาที่ไม่มีส่วนประกอบของแนวโน้มและฤดูกาล จะเลือกใช้วิธีการทำให้เรียบแบบเอ็กซ์โพเนนเชียลชั้นเดียว (Single Exponential) โดยที่จะเลือก  $0 \leq \alpha \leq 1$  ที่ให้ค่า RMSE, MAE และ MAPE ต่ำสุด

3.4.1.3 ถ้าข้อมูลอนุกรมเวลาที่มีเฉพาะส่วนประกอบของแนวโน้ม จะเลือกใช้วิธีของโฮลต์ (Holt's Method) โดยที่จะเลือก  $0 \leq \alpha \leq 1$  และ  $0 \leq \beta \leq 1$  ที่ให้ค่า RMSE, MAE และ MAPE ต่ำสุด

3.4.1.4 ถ้าข้อมูลอนุกรมเวลาที่มีทั้งส่วนประกอบของแนวโน้มและฤดูกาลวิธีของวินเทอร์ (Winter's Method) ในกรณีที่แยกไม่ออกว่าอนุกรมเวลาเป็นตัวแทนเชิงคูณหรือเชิงบวก ให้สังเกตที่กราฟเส้นและกราฟ ACF โดยที่ตัวแทนเชิงคูณจะไม่มีแนวโน้มทั้งภายในฤดูกาลและระหว่างฤดูกาลและตัวแทนเชิงบวกจะไม่มีแนวโน้มภายในฤดูกาลแต่จะมีแนวโน้มระหว่างฤดูกาล โดยที่จะเลือก  $0 \leq \alpha \leq 1$ ,  $0 \leq \beta \leq 1$  และ  $0 \leq \gamma \leq 1$  ที่ให้ค่า RMSE, MAE และ MAPE ต่ำสุด

3.4.1.3 ทำการกำหนดตัวแทนที่เหมาะสมโดยใช้โปรแกรม R และหาค่าคลาดเคลื่อน RMSE, MAE และ MAPE ต่ำที่สุด

#### 3.4.2 วิธีของบ็อกซ์และเจนกินส์ (Box-Jenkins's Method)

3.4.2.1 นำข้อมูลปริมาณการใช้ไฟฟ้าในมหาวิทยาลัยขอนแก่นมาตรวจสอบว่า มีคุณสมบัติสเตชันนารีหรือไม่ โดยพิจารณาได้จากลักษณะการเคลื่อนไหวของข้อมูลจากกราฟเส้น และกราฟ ACF ถ้าไม่มีคุณสมบัติสเตชันนารีจะต้องทำให้อนุกรมเวลาที่พิจารณานั้นมีคุณสมบัติสเตชันนารีก่อน ซึ่งคุณสมบัติของกระบวนการสเตชันนารีคือ ไม่มีการเปลี่ยนแปลงไปตามเวลา ไม่มีแนวโน้ม มีค่าเฉลี่ยคงที่ ความแปรปรวนคงที่ และความแปรปรวนร่วมในตัวเองเมื่อเวลาห่างกัน  $k$  ขึ้นอยู่กับ  $k$  เท่านั้น

3.4.2.2 เมื่อข้อมูลมีคุณสมบัติสเตชันนารีแล้วให้นำข้อมูลมาสร้างกราฟ ACF และกราฟ PACF โดยใช้โปรแกรม R เพื่อกำหนดตัวแทนที่เหมาะสมโดยพิจารณาได้จากกราฟ ACF และ PACF ซึ่งอาจมีตัวแทนที่เป็นไปได้มากกว่า 1 ตัวแบบ

3.4.2.3 ประมวลค่าพารามิเตอร์ในตัวแบบ โดยใช้โปรแกรมในการประมวลค่าพารามิเตอร์ และทดสอบค่าพารามิเตอร์ว่ามีค่าแตกต่างจากศูนย์อย่างมีนัยสำคัญ

3.4.2.4 ทำการคัดเลือกตัวแบบที่ให้ค่า AIC ต่ำที่สุดที่ผ่านการทดสอบค่าพารามิเตอร์

3.4.2.5 ตรวจสอบความเหมาะสมของตัวแบบที่กำหนด โดยการตรวจสอบคุณสมบัติของความคลาดเคลื่อน ดังนี้

- 1) ความคลาดเคลื่อนไม่มีสหสัมพันธ์ในตัวเอง โดยดูจากกราฟเส้น และกราฟ ACF ของค่าความคลาดเคลื่อน และใช้สถิติทดสอบ Box-Ljung
- 2) ค่าเฉลี่ยของความคลาดเคลื่อนเป็นศูนย์ โดยใช้สถิติทดสอบ T-Test
- 3) ความแปรปรวนของความคลาดเคลื่อนคงที่ สามารถพิจารณาได้จากกราฟการกระจายของค่าความคลาดเคลื่อน
- 4) ความคลาดเคลื่อนมีการแจกแจงแบบปกติ สามารถพิจารณาได้จากกราฟฮิสโตแกรม ถ้าหากกราฟสมมาตรแสดงว่า มีการแจกแจงแบบปกติ แต่ถ้าหากกราฟเบ้ซ้าย หรือเบ้ขวา แสดงว่า ค่าความคลาดเคลื่อนไม่มีการแจกแจงแบบปกติ

### 3.4.3 เปรียบเทียบค่าพยากรณ์

เมื่อได้ตัวแบบจากวิธีการทำให้เรียบและวิธีของบ็อกซ์และเจนกินส์ ผู้วิจัยจะทำการคัดเลือกตัวแบบที่ดีที่สุดที่เหมาะสมกับข้อมูล ที่ให้ค่าความคลาดเคลื่อนต่ำสุด โดยใช้เกณฑ์รากที่สองของค่าความคลาดเคลื่อนกำลังสองเฉลี่ย (RMSE), ค่าสัมบูรณ์ของความเบี่ยงเบนเฉลี่ย (MAE), ค่าเฉลี่ยของค่าสัมบูรณ์เปอร์เซ็นต์ความคลาดเคลื่อน (MAPE)

3.4.4 ทำการพยากรณ์ ใช้ตัวแบบที่เหมาะสมมาพยากรณ์ได้ทั้งแบบจุดและแบบช่วง การพยากรณ์จะใช้สมการพยากรณ์ที่สร้างจากตัวแบบการพยากรณ์ที่กำหนด

